

Opérades des cliques décorées

Samuele Giraud

LIGM, Université Paris-Est Marne-la-Vallée

Séminaire CALIN du LIPN

13 juin 2017

Plan

Opérades

Opérades de cliques

Sous-opérades et quotients

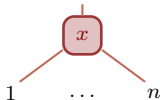
Opérades de configurations non croisées

Plan

Opérades

Opérateurs

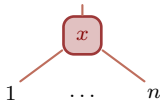
Un **opérateur** est une entité ayant $n \geq 1$ entrées et une sortie.



Son **arité** est son nombre n d'entrées.

Opérateurs

Un **opérateur** est une entité ayant $n \geq 1$ entrées et une sortie.



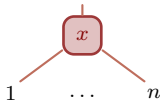
Son **arité** est son nombre n d'entrées.

Composer deux opérateurs x et y consiste à

1. choisir une entrée de x , identifiée par sa position i ;
2. greffer la sortie de y sur cette entrée.

Opérateurs

Un **opérateur** est une entité ayant $n \geq 1$ entrées et une sortie.

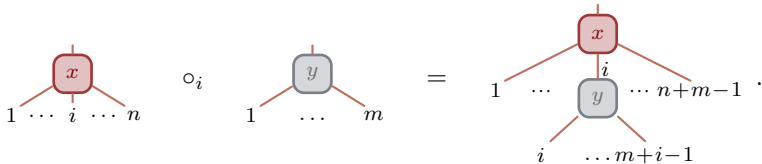


Son **arité** est son nombre n d'entrées.

Composer deux opérateurs x et y consiste à

1. choisir une entrée de x , identifiée par sa position i ;
2. greffer la sortie de y sur cette entrée.

Ceci produit un nouvel opérateur $x \circ_i y$ d'arité $n + m - 1$:



Opérades

Les opérades sont des structures algébriques formalisant la notion d'opérateur de leur composition.

Opérades

Les opérades sont des structures algébriques formalisant la notion d'opérateur de leur composition.

Une **opérade** (non symétrique) est un triplet $(\mathcal{O}, \circ_i, \mathbb{1})$ tel que

1. \mathcal{O} est un \mathbb{K} -espace vectoriel gradué

$$\mathcal{O} := \bigoplus_{n \geq 1} \mathcal{O}(n) ;$$

Opérades

Les opérades sont des structures algébriques formalisant la notion d'opérateur de leur composition.

Une **opérade** (non symétrique) est un triplet $(\mathcal{O}, \circ_i, \mathbb{1})$ tel que

1. \mathcal{O} est un \mathbb{K} -espace vectoriel gradué

$$\mathcal{O} := \bigoplus_{n \geq 1} \mathcal{O}(n) ;$$

2. \circ_i est une application de **composition partielle**,

$$\circ_i : \mathcal{O}(n) \otimes \mathcal{O}(m) \rightarrow \mathcal{O}(n + m - 1), \quad n, m \geq 1, i \in [n] ;$$

Opérades

Les opérades sont des structures algébriques formalisant la notion d'opérateur de leur composition.

Une **opérade** (non symétrique) est un triplet $(\mathcal{O}, \circ_i, \mathbb{1})$ tel que

1. \mathcal{O} est un \mathbb{K} -espace vectoriel gradué

$$\mathcal{O} := \bigoplus_{n \geq 1} \mathcal{O}(n) ;$$

2. \circ_i est une application de **composition partielle**,

$$\circ_i : \mathcal{O}(n) \otimes \mathcal{O}(m) \rightarrow \mathcal{O}(n + m - 1), \quad n, m \geq 1, i \in [n] ;$$

3. $\mathbb{1}$ est un élément de $\mathcal{O}(1)$, appelé **unité**.

Opérades

Les opérades sont des structures algébriques formalisant la notion d'opérateur de leur composition.

Une **opérade** (non symétrique) est un triplet $(\mathcal{O}, \circ_i, \mathbb{1})$ tel que

1. \mathcal{O} est un \mathbb{K} -espace vectoriel gradué

$$\mathcal{O} := \bigoplus_{n \geq 1} \mathcal{O}(n) ;$$

2. \circ_i est une application de **composition partielle**,

$$\circ_i : \mathcal{O}(n) \otimes \mathcal{O}(m) \rightarrow \mathcal{O}(n + m - 1), \quad n, m \geq 1, i \in [n] ;$$

3. $\mathbb{1}$ est un élément de $\mathcal{O}(1)$, appelé **unité**.

Ces objets doivent vérifier des axiomes.

Axiomes des opérades

Associativité :

$$(x \circ_i y) \circ_{i+j-1} z = x \circ_i (y \circ_j z)$$

$$x \in \mathcal{O}(n), y \in \mathcal{O}(m), z \in \mathcal{O}$$

$$i \in [n], j \in [m]$$

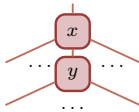
Axiomes des opérades

Associativité :

$$(x \circ_i y)$$

$$x \in \mathcal{O}(n), y \in \mathcal{O}(m), z \in \mathcal{O}$$

$$i \in [n], j \in [m]$$



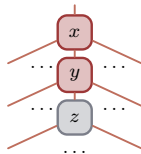
Axiomes des opérades

Associativité :

$$(x \circ_i y) \circ_{i+j-1} z$$

$$x \in \mathcal{O}(n), y \in \mathcal{O}(m), z \in \mathcal{O}$$

$$i \in [n], j \in [m]$$



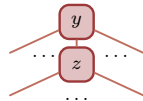
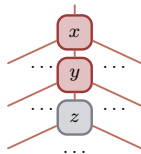
Axiomes des opérades

Associativité :

$$(x \circ_i y) \circ_{i+j-1} z \quad (y \circ_j z)$$

$$x \in \mathcal{O}(n), y \in \mathcal{O}(m), z \in \mathcal{O}$$

$$i \in [n], j \in [m]$$



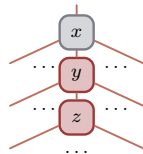
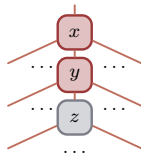
Axiomes des opérades

Associativité :

$$(x \circ_i y) \circ_{i+j-1} z = x \circ_i (y \circ_j z)$$

$$x \in \mathcal{O}(n), y \in \mathcal{O}(m), z \in \mathcal{O}$$

$$i \in [n], j \in [m]$$



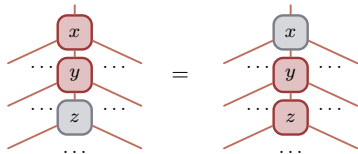
Axiomes des opérades

Associativité :

$$(x \circ_i y) \circ_{i+j-1} z = x \circ_i (y \circ_j z)$$

$$x \in \mathcal{O}(n), y \in \mathcal{O}(m), z \in \mathcal{O}$$

$$i \in [n], j \in [m]$$



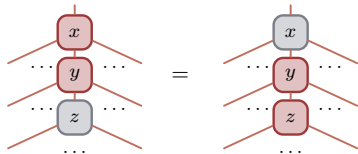
Axiomes des opérades

Associativité :

$$(x \circ_i y) \circ_{i+j-1} z = x \circ_i (y \circ_j z)$$

$$x \in \mathcal{O}(n), y \in \mathcal{O}(m), z \in \mathcal{O}$$

$$i \in [n], j \in [m]$$



Commutativité :

$$(x \circ_i y) \circ_{j+m-1} z = (x \circ_j z) \circ_i y$$

$$x \in \mathcal{O}(n), y \in \mathcal{O}(m), z \in \mathcal{O}$$

$$1 \leq i < j \leq n$$

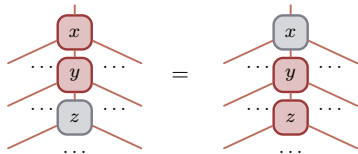
Axiomes des opérades

Associativité :

$$(x \circ_i y) \circ_{i+j-1} z = x \circ_i (y \circ_j z)$$

$$x \in \mathcal{O}(n), y \in \mathcal{O}(m), z \in \mathcal{O}$$

$$i \in [n], j \in [m]$$

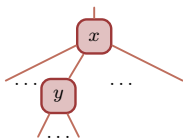


Commutativité :

$$(x \circ_i y)$$

$$x \in \mathcal{O}(n), y \in \mathcal{O}(m), z \in \mathcal{O}$$

$$1 \leq i < j \leq n$$



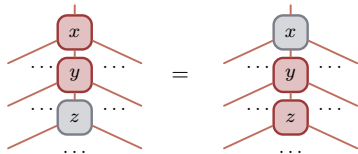
Axiomes des opérades

Associativité :

$$(x \circ_i y) \circ_{i+j-1} z = x \circ_i (y \circ_j z)$$

$$x \in \mathcal{O}(n), y \in \mathcal{O}(m), z \in \mathcal{O}$$

$$i \in [n], j \in [m]$$

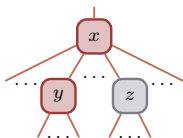


Commutativité :

$$(x \circ_i y) \circ_{j+m-1} z$$

$$x \in \mathcal{O}(n), y \in \mathcal{O}(m), z \in \mathcal{O}$$

$$1 \leq i < j \leq n$$



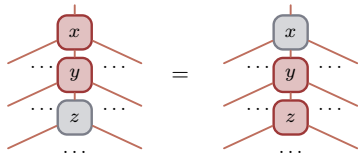
Axiomes des opérades

Associativité :

$$(x \circ_i y) \circ_{i+j-1} z = x \circ_i (y \circ_j z)$$

$$x \in \mathcal{O}(n), y \in \mathcal{O}(m), z \in \mathcal{O}$$

$$i \in [n], j \in [m]$$

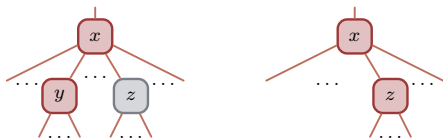


Commutativité :

$$(x \circ_i y) \circ_{j+m-1} z = (x \circ_j z) \circ_{i+m-1} y$$

$$x \in \mathcal{O}(n), y \in \mathcal{O}(m), z \in \mathcal{O}$$

$$1 \leq i < j \leq n$$



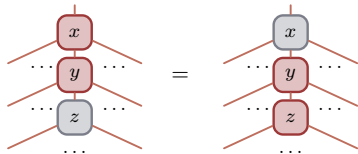
Axiomes des opérades

Associativité :

$$(x \circ_i y) \circ_{i+j-1} z = x \circ_i (y \circ_j z)$$

$$x \in \mathcal{O}(n), y \in \mathcal{O}(m), z \in \mathcal{O}$$

$$i \in [n], j \in [m]$$

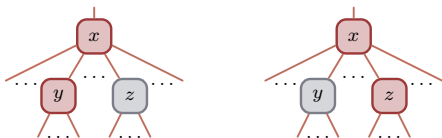


Commutativité :

$$(x \circ_i y) \circ_{j+m-1} z = (x \circ_j z) \circ_i y$$

$$x \in \mathcal{O}(n), y \in \mathcal{O}(m), z \in \mathcal{O}$$

$$1 \leq i < j \leq n$$



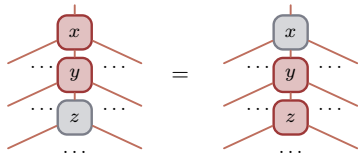
Axiomes des opérades

Associativité :

$$(x \circ_i y) \circ_{i+j-1} z = x \circ_i (y \circ_j z)$$

$$x \in \mathcal{O}(n), y \in \mathcal{O}(m), z \in \mathcal{O}$$

$$i \in [n], j \in [m]$$

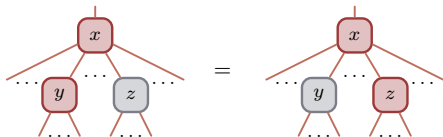


Commutativité :

$$(x \circ_i y) \circ_{j+m-1} z = (x \circ_j z) \circ_i y$$

$$x \in \mathcal{O}(n), y \in \mathcal{O}(m), z \in \mathcal{O}$$

$$1 \leq i < j \leq n$$



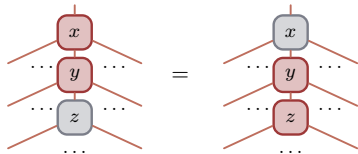
Axiomes des opérades

Associativité :

$$(x \circ_i y) \circ_{i+j-1} z = x \circ_i (y \circ_j z)$$

$$x \in \mathcal{O}(n), y \in \mathcal{O}(m), z \in \mathcal{O}$$

$$i \in [n], j \in [m]$$

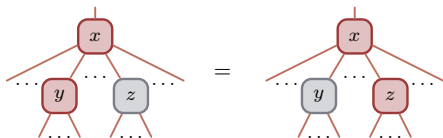


Commutativité :

$$(x \circ_i y) \circ_{j+m-1} z = (x \circ_j z) \circ_i y$$

$$x \in \mathcal{O}(n), y \in \mathcal{O}(m), z \in \mathcal{O}$$

$$1 \leq i < j \leq n$$



Unitalité :

$$\mathbb{1} \circ_1 x = x = x \circ_i \mathbb{1}$$

$$x \in \mathcal{O}(n)$$

$$i \in [n]$$

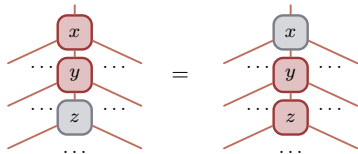
Axiomes des opérades

Associativité :

$$(x \circ_i y) \circ_{i+j-1} z = x \circ_i (y \circ_j z)$$

$$x \in \mathcal{O}(n), y \in \mathcal{O}(m), z \in \mathcal{O}$$

$$i \in [n], j \in [m]$$

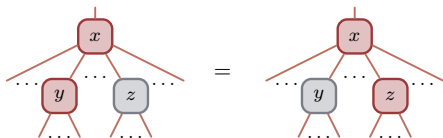


Commutativité :

$$(x \circ_i y) \circ_{j+m-1} z = (x \circ_j z) \circ_i y$$

$$x \in \mathcal{O}(n), y \in \mathcal{O}(m), z \in \mathcal{O}$$

$$1 \leq i < j \leq n$$

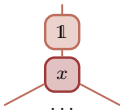


Unitalité :

$$\mathbb{1} \circ_1 x$$

$$x \in \mathcal{O}(n)$$

$$i \in [n]$$



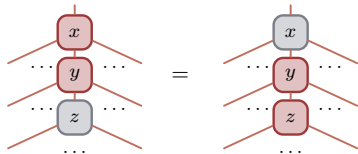
Axiomes des opérades

Associativité :

$$(x \circ_i y) \circ_{i+j-1} z = x \circ_i (y \circ_j z)$$

$$x \in \mathcal{O}(n), y \in \mathcal{O}(m), z \in \mathcal{O}$$

$$i \in [n], j \in [m]$$

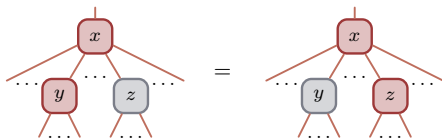


Commutativité :

$$(x \circ_i y) \circ_{j+m-1} z = (x \circ_j z) \circ_i y$$

$$x \in \mathcal{O}(n), y \in \mathcal{O}(m), z \in \mathcal{O}$$

$$1 \leq i < j \leq n$$



Unitalité :

$$\mathbb{1} \circ_1 x = x$$

$$x \in \mathcal{O}(n)$$

$$i \in [n]$$



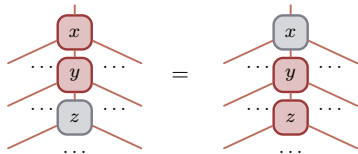
Axiomes des opérades

Associativité :

$$(x \circ_i y) \circ_{i+j-1} z = x \circ_i (y \circ_j z)$$

$$x \in \mathcal{O}(n), y \in \mathcal{O}(m), z \in \mathcal{O}$$

$$i \in [n], j \in [m]$$

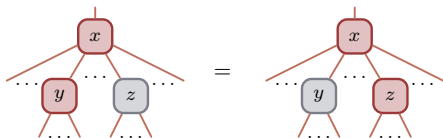


Commutativité :

$$(x \circ_i y) \circ_{j+m-1} z = (x \circ_j z) \circ_i y$$

$$x \in \mathcal{O}(n), y \in \mathcal{O}(m), z \in \mathcal{O}$$

$$1 \leq i < j \leq n$$

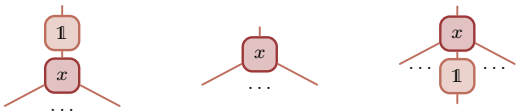


Unitalité :

$$\mathbb{1} \circ_1 x \quad x \quad x \circ_i \mathbb{1}$$

$$x \in \mathcal{O}(n)$$

$$i \in [n]$$



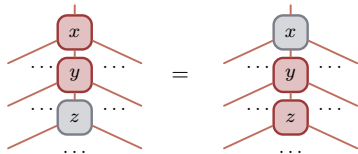
Axiomes des opérades

Associativité :

$$(x \circ_i y) \circ_{i+j-1} z = x \circ_i (y \circ_j z)$$

$$x \in \mathcal{O}(n), y \in \mathcal{O}(m), z \in \mathcal{O}$$

$$i \in [n], j \in [m]$$

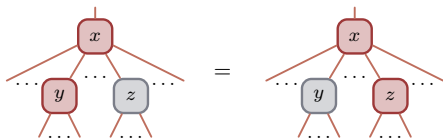


Commutativité :

$$(x \circ_i y) \circ_{j+m-1} z = (x \circ_j z) \circ_i y$$

$$x \in \mathcal{O}(n), y \in \mathcal{O}(m), z \in \mathcal{O}$$

$$1 \leq i < j \leq n$$

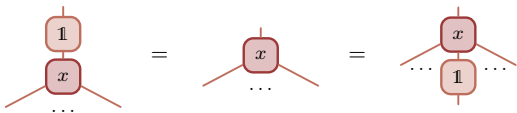


Unitalité :

$$\mathbb{1} \circ_1 x = x = x \circ_i \mathbb{1}$$

$$x \in \mathcal{O}(n)$$

$$i \in [n]$$



Exemple : l'opérade des rubans

L'opérade des rubans \mathbf{Comp} est définie par :

- ▶ $\mathbf{Comp}(n)$ est l'espace des diagrammes rubans des compositions d'entiers de n pour tout $n \geq 1$. P.ex.,



est un ruban d'arité 11;

Exemple : l'opérade des rubans

L'opérade des rubans \mathbf{Comp} est définie par :

- $\mathbf{Comp}(n)$ est l'espace des diagrammes rubans des compositions d'entiers de n pour tout $n \geq 1$. P.ex.,



est un ruban d'arité 11;

- la composition partielle $\mathbf{r} \circ_i \mathbf{s}$ de deux rubans \mathbf{r} et \mathbf{s} s'obtient en insérant \mathbf{s} dans la i^{e} boîte de \mathbf{r} lorsque celle-ci est la plus haute de sa colonne;

Exemple



Exemple : l'opérade des rubans

L'opérade des rubans \mathbf{Comp} est définie par :

- $\mathbf{Comp}(n)$ est l'espace des diagrammes rubans des compositions d'entiers de n pour tout $n \geq 1$. P.ex.,



est un ruban d'arité 11;

- la composition partielle $\mathbf{r} \circ_i \mathbf{s}$ de deux rubans \mathbf{r} et \mathbf{s} s'obtient en insérant \mathbf{s} (resp. le transposé de \mathbf{s}) dans la i^{e} boîte de \mathbf{r} lorsque celle-ci est (resp. n'est pas) la plus haute de sa colonne;

Exemple



Exemple : l'opéade des rubans

L'opéade des rubans \mathbf{Comp} est définie par :

- ▶ $\mathbf{Comp}(n)$ est l'espace des diagrammes rubans des compositions d'entiers de n pour tout $n \geq 1$. P.ex.,



est un ruban d'arité 11;

- ▶ la composition partielle $\mathbf{r} \circ_i \mathbf{s}$ de deux rubans \mathbf{r} et \mathbf{s} s'obtient en insérant \mathbf{s} (resp. le transposé de \mathbf{s}) dans la i^{e} boîte de \mathbf{r} lorsque celle-ci est (resp. n'est pas) la plus haute de sa colonne;
- ▶ l'unité est le ruban \square .

Exemple



Exemple : propriétés de Comp

1. Série de Hilbert :

$$\mathcal{H}_{\text{Comp}}(t) = t + 2t^2 + 4t^3 + 8t^4 + 16t^5 + 32t^6 + 64t^7 + \dots$$

Exemple : propriétés de Comp

1. Série de Hilbert :

$$\mathcal{H}_{\text{Comp}}(t) = t + 2t^2 + 4t^3 + 8t^4 + 16t^5 + 32t^6 + 64t^7 + \dots$$

2. Famille génératrice minimale :

$$\left\{ \text{oo}, \text{8} \right\}.$$

Exemple : propriétés de Comp

1. Série de Hilbert :

$$\mathcal{H}_{\text{Comp}}(t) = t + 2t^2 + 4t^3 + 8t^4 + 16t^5 + 32t^6 + 64t^7 + \dots$$

2. Famille génératrice minimale :

$$\left\{ \begin{array}{c} \text{□□} \\ \text{□□} \end{array}, \begin{array}{c} \text{□□} \\ \text{□□} \end{array} \right\}.$$

3. Relations non triviales :

$$\begin{array}{c} \text{□□} \\ \text{□□} \end{array} \circ_1 \begin{array}{c} \text{□□} \\ \text{□□} \end{array} - \begin{array}{c} \text{□□} \\ \text{□□} \end{array} \circ_2 \begin{array}{c} \text{□□} \\ \text{□□} \end{array} = 0,$$

$$\begin{array}{c} \text{□□} \\ \text{□□} \end{array} \circ_1 \begin{array}{c} \text{□□} \\ \text{□□} \end{array} - \begin{array}{c} \text{□□} \\ \text{□□} \end{array} \circ_2 \begin{array}{c} \text{□□} \\ \text{□□} \end{array} = 0,$$

$$\begin{array}{c} \text{□□} \\ \text{□□} \end{array} \circ_1 \begin{array}{c} \text{□□} \\ \text{□□} \end{array} - \begin{array}{c} \text{□□} \\ \text{□□} \end{array} \circ_2 \begin{array}{c} \text{□□} \\ \text{□□} \end{array} = 0,$$

$$\begin{array}{c} \text{□□} \\ \text{□□} \end{array} \circ_1 \begin{array}{c} \text{□□} \\ \text{□□} \end{array} - \begin{array}{c} \text{□□} \\ \text{□□} \end{array} \circ_2 \begin{array}{c} \text{□□} \\ \text{□□} \end{array} = 0.$$

Opérades libres

Soit $\mathfrak{G} := \sqcup_{n \geq 1} \mathfrak{G}(n)$ un ensemble gradué.

Opérades libres

Soit $\mathfrak{G} := \sqcup_{n \geq 1} \mathfrak{G}(n)$ un ensemble gradué.

L'opétrade libre sur \mathfrak{G} est l'opétrade $\mathfrak{F}(\mathfrak{G})$ telle que :

- ▶ $\mathfrak{F}(\mathfrak{G})(n)$ est l'espace des arbres syntaxiques sur \mathfrak{G} avec n feuilles ;
- ▶ la composition partielle est une greffe d'arbres ;
- ▶ l'unité est l'arbre fait d'une feuille.

Opérades libres

Soit $\mathfrak{G} := \sqcup_{n \geq 1} \mathfrak{G}(n)$ un ensemble gradué.

L'opérade libre sur \mathfrak{G} est l'opérade $\mathfrak{F}(\mathfrak{G})$ telle que :

- ▶ $\mathfrak{F}(\mathfrak{G})(n)$ est l'espace des arbres syntaxiques sur \mathfrak{G} avec n feuilles ;
- ▶ la composition partielle est une greffe d'arbres ;
- ▶ l'unité est l'arbre fait d'une feuille.

Exemple

Soit $\mathfrak{G} := \mathfrak{G}(2) \sqcup \mathfrak{G}(3)$ avec $\mathfrak{G}(2) := \{a, b\}$ et $\mathfrak{G}(3) := \{c\}$.

Opérades libres

Soit $\mathfrak{G} := \sqcup_{n \geq 1} \mathfrak{G}(n)$ un ensemble gradué.

L'opérade libre sur \mathfrak{G} est l'opérade $\mathfrak{F}(\mathfrak{G})$ telle que :

- ▶ $\mathfrak{F}(\mathfrak{G})(n)$ est l'espace des arbres syntaxiques sur \mathfrak{G} avec n feuilles;
- ▶ la composition partielle est une greffe d'arbres;
- ▶ l'unité est l'arbre fait d'une feuille.

Exemple

Soit $\mathfrak{G} := \mathfrak{G}(2) \sqcup \mathfrak{G}(3)$ avec $\mathfrak{G}(2) := \{a, b\}$ et $\mathfrak{G}(3) := \{c\}$.

Les arbres syntaxiques de $\mathfrak{F}(\mathfrak{G})(3)$ sont



Opérades libres

Soit $\mathfrak{G} := \sqcup_{n \geq 1} \mathfrak{G}(n)$ un ensemble gradué.

L'opérade libre sur \mathfrak{G} est l'opérade $\mathfrak{F}(\mathfrak{G})$ telle que :

- ▶ $\mathfrak{F}(\mathfrak{G})(n)$ est l'espace des arbres syntaxiques sur \mathfrak{G} avec n feuilles;
- ▶ la composition partielle est une greffe d'arbres;
- ▶ l'unité est l'arbre fait d'une feuille.

Exemple

Soit $\mathfrak{G} := \mathfrak{G}(2) \sqcup \mathfrak{G}(3)$ avec $\mathfrak{G}(2) := \{a, b\}$ et $\mathfrak{G}(3) := \{c\}$.

Les arbres syntaxiques de $\mathfrak{F}(\mathfrak{G})(3)$ sont



Voici une composition partielle dans $\mathfrak{F}(\mathfrak{G})$:



Quotients d'opérides libres

Un sous-espace \mathcal{V} de $\mathfrak{F}(\mathfrak{G})$ est un **idéal d'opéride** de $\mathfrak{F}(\mathfrak{G})$ si

$x \in \mathfrak{F}(\mathfrak{G})$ et $y \in \mathcal{V}$ impliquent $x \circ_i y \in \mathcal{V}$ et $y \circ_j x \in \mathcal{V}$.

Quotients d'opérides libres

Un sous-espace \mathcal{V} de $\mathfrak{F}(\mathfrak{G})$ est un **idéal d'opéride** de $\mathfrak{F}(\mathfrak{G})$ si

$$x \in \mathfrak{F}(\mathfrak{G}) \text{ et } y \in \mathcal{V} \quad \text{impliquent} \quad x \circ_i y \in \mathcal{V} \text{ et } y \circ_j x \in \mathcal{V}.$$

L'**opéride quotient** $\mathfrak{F}(\mathfrak{G})/\mathcal{V}$ est définie de manière habituelle.

Quotients d'opéades libres

Un sous-espace \mathcal{V} de $\mathfrak{F}(\mathfrak{G})$ est un **idéal d'opéade** de $\mathfrak{F}(\mathfrak{G})$ si

$$x \in \mathfrak{F}(\mathfrak{G}) \text{ et } y \in \mathcal{V} \quad \text{impliquent} \quad x \circ_i y \in \mathcal{V} \text{ et } y \circ_j x \in \mathcal{V}.$$

L'**opéade quotient** $\mathfrak{F}(\mathfrak{G})/\mathcal{V}$ est définie de manière habituelle.

Exemple

Soit $\mathfrak{G} := \mathfrak{G}(2)$ avec $\mathfrak{G}(2) := \{\mathbf{a}\}$.

$\mathfrak{F}(\mathfrak{G})$ est l'**opéade magmatique** (espace des arbres binaires).

Quotients d'opérades libres

Un sous-espace \mathcal{V} de $\mathfrak{F}(\mathfrak{G})$ est un **idéal d'opérade** de $\mathfrak{F}(\mathfrak{G})$ si

$$x \in \mathfrak{F}(\mathfrak{G}) \text{ et } y \in \mathcal{V} \quad \text{impliquent} \quad x \circ_i y \in \mathcal{V} \text{ et } y \circ_j x \in \mathcal{V}.$$

L'**opérade quotient** $\mathfrak{F}(\mathfrak{G})/\mathcal{V}$ est définie de manière habituelle.

Exemple

Soit $\mathfrak{G} := \mathfrak{G}(2)$ avec $\mathfrak{G}(2) := \{a\}$.

$\mathfrak{F}(\mathfrak{G})$ est l'**opérade magmatique** (espace des arbres binaires).

Soit \mathcal{V} l'idéal d'opérades $\mathfrak{F}(\mathfrak{G})$ engendré par

$$a \circ_1 a - a \circ_2 a.$$

Quotients d'opéades libres

Un sous-espace \mathcal{V} de $\mathfrak{F}(\mathfrak{G})$ est un **idéal d'opéade** de $\mathfrak{F}(\mathfrak{G})$ si

$$x \in \mathfrak{F}(\mathfrak{G}) \text{ et } y \in \mathcal{V} \quad \text{impliquent} \quad x \circ_i y \in \mathcal{V} \text{ et } y \circ_j x \in \mathcal{V}.$$

L'**opéade quotient** $\mathfrak{F}(\mathfrak{G})/\mathcal{V}$ est définie de manière habituelle.

Exemple

Soit $\mathfrak{G} := \mathfrak{G}(2)$ avec $\mathfrak{G}(2) := \{a\}$.

$\mathfrak{F}(\mathfrak{G})$ est l'**opéade magmatique** (espace des arbres binaires).

Soit \mathcal{V} l'idéal d'opéades $\mathfrak{F}(\mathfrak{G})$ engendré par

$$a \circ_1 a - a \circ_2 a.$$

Comme dans $\mathfrak{F}(\mathfrak{G})/\mathcal{V}$, les arbres syntaxiques $a \circ_1 a$ et $a \circ_2 a$ sont équivalents, $\mathfrak{F}(\mathfrak{G})/\mathcal{V}$ est l'espace des peignes gauches.

Quotients d'opérades libres

Un sous-espace \mathcal{V} de $\mathfrak{F}(\mathfrak{G})$ est un **idéal d'opérade** de $\mathfrak{F}(\mathfrak{G})$ si

$$x \in \mathfrak{F}(\mathfrak{G}) \text{ et } y \in \mathcal{V} \quad \text{impliquent} \quad x \circ_i y \in \mathcal{V} \text{ et } y \circ_j x \in \mathcal{V}.$$

L'**opérade quotient** $\mathfrak{F}(\mathfrak{G})/\mathcal{V}$ est définie de manière habituelle.

Exemple

Soit $\mathfrak{G} := \mathfrak{G}(2)$ avec $\mathfrak{G}(2) := \{a\}$.

$\mathfrak{F}(\mathfrak{G})$ est l'**opérade magmatique** (espace des arbres binaires).

Soit \mathcal{V} l'idéal d'opérades $\mathfrak{F}(\mathfrak{G})$ engendré par

$$a \circ_1 a - a \circ_2 a.$$

Comme dans $\mathfrak{F}(\mathfrak{G})/\mathcal{V}$, les arbres syntaxiques $a \circ_1 a$ et $a \circ_2 a$ sont équivalents, $\mathfrak{F}(\mathfrak{G})/\mathcal{V}$ est l'espace des peignes gauches.

C'est l'**opérade associative** As .

Présentations d'opérades

Soit \mathcal{O} une opérade.

Présentations d'opérades

Soit \mathcal{O} une opérade.

Une **présentation** de \mathcal{O} est un couple $(\mathfrak{G}_{\mathcal{O}}, \mathfrak{R}_{\mathcal{O}})$ tel que

- ▶ $\mathfrak{G}_{\mathcal{O}}$ est un ensemble gradué, appelé **ensemble générateur**;

Présentations d'opérades

Soit \mathcal{O} une opérade.

Une **présentation** de \mathcal{O} est un couple $(\mathfrak{G}_{\mathcal{O}}, \mathfrak{R}_{\mathcal{O}})$ tel que

- ▶ $\mathfrak{G}_{\mathcal{O}}$ est un ensemble gradué, appelé **ensemble générateur**;
- ▶ $\mathfrak{R}_{\mathcal{O}}$ est un sous-espace de $\mathfrak{F}(\mathfrak{G}_{\mathcal{O}})$, appelé **espace des relations**;

Présentations d'opérades

Soit \mathcal{O} une opérade.

Une **présentation** de \mathcal{O} est un couple $(\mathfrak{G}_\mathcal{O}, \mathfrak{R}_\mathcal{O})$ tel que

- ▶ $\mathfrak{G}_\mathcal{O}$ est un ensemble gradué, appelé **ensemble générateur**;
- ▶ $\mathfrak{R}_\mathcal{O}$ est un sous-espace de $\mathfrak{F}(\mathfrak{G}_\mathcal{O})$, appelé **espace des relations**;

tel que

$$\mathcal{O} \simeq \mathfrak{F}(\mathfrak{G}_\mathcal{O}) / \langle \mathfrak{R}_\mathcal{O} \rangle,$$

où $\langle \mathfrak{R}_\mathcal{O} \rangle$ est l'idéal d'opérade engendré par $\mathfrak{R}_\mathcal{O}$.

Présentations d'opérades

Soit \mathcal{O} une opérade.

Une **présentation** de \mathcal{O} est un couple $(\mathfrak{G}_{\mathcal{O}}, \mathfrak{R}_{\mathcal{O}})$ tel que

- ▶ $\mathfrak{G}_{\mathcal{O}}$ est un ensemble gradué, appelé **ensemble générateur**;
- ▶ $\mathfrak{R}_{\mathcal{O}}$ est un sous-espace de $\mathfrak{F}(\mathfrak{G}_{\mathcal{O}})$, appelé **espace des relations**;

tel que

$$\mathcal{O} \simeq \mathfrak{F}(\mathfrak{G}_{\mathcal{O}}) / \langle \mathfrak{R}_{\mathcal{O}} \rangle,$$

où $\langle \mathfrak{R}_{\mathcal{O}} \rangle$ est l'idéal d'opérade engendré par $\mathfrak{R}_{\mathcal{O}}$.

La présentation $(\mathfrak{G}_{\mathcal{O}}, \mathfrak{R}_{\mathcal{O}})$ est

- ▶ **binaire** quand tous les élément de $\mathfrak{G}_{\mathcal{O}}$ sont d'arité 2;

Présentations d'opérades

Soit \mathcal{O} une opérade.

Une **présentation** de \mathcal{O} est un couple $(\mathfrak{G}_{\mathcal{O}}, \mathfrak{R}_{\mathcal{O}})$ tel que

- ▶ $\mathfrak{G}_{\mathcal{O}}$ est un ensemble gradué, appelé **ensemble générateur**;
- ▶ $\mathfrak{R}_{\mathcal{O}}$ est un sous-espace de $\mathfrak{F}(\mathfrak{G}_{\mathcal{O}})$, appelé **espace des relations**;

tel que

$$\mathcal{O} \simeq \mathfrak{F}(\mathfrak{G}_{\mathcal{O}}) / \langle \mathfrak{R}_{\mathcal{O}} \rangle,$$

où $\langle \mathfrak{R}_{\mathcal{O}} \rangle$ est l'idéal d'opérade engendré par $\mathfrak{R}_{\mathcal{O}}$.

La présentation $(\mathfrak{G}_{\mathcal{O}}, \mathfrak{R}_{\mathcal{O}})$ est

- ▶ **binaire** quand tous les éléments de $\mathfrak{G}_{\mathcal{O}}$ sont d'arité 2;
- ▶ **quadratique** quand toutes les éléments de $\mathfrak{R}_{\mathcal{O}}$ ne font intervenir que des arbres syntaxiques à deux nœuds internes.

Exemples : présentations de Comp et de DA.

Exemple

Comp admet la présentation $(\mathcal{G}_{\text{Comp}}, \mathcal{R}_{\text{Comp}})$ où

$\mathcal{G}_{\text{Comp}} := \mathcal{G}_{\text{Comp}}(2) := \{a, b\}$ et $\mathcal{R}_{\text{Comp}}$ est l'espace engendré par

$$a \circ_1 a - a \circ_2 a, \quad b \circ_1 a - a \circ_2 b, \quad b \circ_1 b - b \circ_2 a, \quad a \circ_1 b - b \circ_2 b.$$

Cette présentation est **binaire** et **quadratique**.

Exemples : présentations de Comp et de DA.

Exemple

Comp admet la présentation $(\mathcal{G}_{\text{Comp}}, \mathcal{R}_{\text{Comp}})$ où

$\mathcal{G}_{\text{Comp}} := \mathcal{G}_{\text{Comp}}(2) := \{a, b\}$ et $\mathcal{R}_{\text{Comp}}$ est l'espace engendré par

$$a \circ_1 a - a \circ_2 a, \quad b \circ_1 a - a \circ_2 b, \quad b \circ_1 b - b \circ_2 a, \quad a \circ_1 b - b \circ_2 b.$$

Cette présentation est **binaire** et **quadratique**.

Exemple

L'opérade DA des animaux dirigés admet la présentation $(\mathcal{G}_{\text{DA}}, \mathcal{R}_{\text{DA}})$ où

$\mathcal{G}_{\text{DA}} := \mathcal{G}_{\text{DA}}(2) := \{a, b\}$ et \mathcal{R}_{DA} est l'espace engendré par

$$a \circ_1 a - a \circ_1 a, \quad b \circ_1 a - a \circ_2 b, \quad b \circ_1 b - b \circ_2 a, \quad (a \circ_1 b) \circ_2 b - (b \circ_2 b) \circ_3 b.$$

Cette présentation est **binaire** et **non quadratique** (la dernière relation porte sur des arbres syntaxiques ayant trois nœuds internes).

Opérades de Koszul

\mathcal{O} est une **opérade de Koszul** si son complexe de Koszul est acyclique.

Opérades de Koszul

\mathcal{O} est une **opérade de Koszul** si son complexe de Koszul est acyclique.

Cette propriété est vérifiée dès qu'il existe une orientation \Rightarrow des relations de $\mathfrak{R}_{\mathcal{O}}$ de sorte que \Rightarrow soit une **règle de réécriture convergente** sur les arbres de $\mathfrak{F}(\mathcal{G}_{\mathcal{O}})$ [Hoffbeck, 2010].

Opérades de Koszul

\mathcal{O} est une **opérade de Koszul** si son complexe de Koszul est acyclique.

Cette propriété est vérifiée dès qu'il existe une orientation \Rightarrow des relations de $\mathfrak{R}_{\mathcal{O}}$ de sorte que \Rightarrow soit une **règle de réécriture convergente** sur les arbres de $\mathfrak{F}(\mathfrak{G}_{\mathcal{O}})$ [Hoffbeck, 2010].

Exemple

On rappelle que **Comp** admet la présentation $(\mathfrak{G}_{\text{Comp}}, \mathfrak{R}_{\text{Comp}})$ où

$\mathfrak{G}_{\text{Comp}} := \mathfrak{G}_{\text{Comp}}(2) := \{a, b\}$ et $\mathfrak{R}_{\text{Comp}}$ est l'espace engendré par

$$a \circ_1 a - a \circ_2 a, \quad b \circ_1 a - a \circ_2 b, \quad b \circ_1 b - b \circ_2 a, \quad a \circ_1 b - b \circ_2 b.$$

Opérades de Koszul

\mathcal{O} est une **opérade de Koszul** si son complexe de Koszul est acyclique.

Cette propriété est vérifiée dès qu'il existe une orientation \Rightarrow des relations de $\mathfrak{R}_{\mathcal{O}}$ de sorte que \Rightarrow soit une **règle de réécriture convergente** sur les arbres de $\mathfrak{F}(\mathfrak{G}_{\mathcal{O}})$ [Hoffbeck, 2010].

Exemple

On rappelle que **Comp** admet la présentation $(\mathfrak{G}_{\text{Comp}}, \mathfrak{R}_{\text{Comp}})$ où

$\mathfrak{G}_{\text{Comp}} := \mathfrak{G}_{\text{Comp}}(2) := \{a, b\}$ et $\mathfrak{R}_{\text{Comp}}$ est l'espace engendré par

$$a \circ_1 a - a \circ_2 a, \quad b \circ_1 a - a \circ_2 b, \quad b \circ_1 b - b \circ_2 a, \quad a \circ_1 b - b \circ_2 b.$$

Pour démontrer que **Comp** est de Koszul, on considère la règle de réécriture \Rightarrow définie par

$$a \circ_1 a \Rightarrow a \circ_2 a, \quad b \circ_1 a \Rightarrow a \circ_2 b, \quad b \circ_1 b \Rightarrow b \circ_2 a, \quad a \circ_1 b \Rightarrow b \circ_2 b.$$

Opérades de Koszul

\mathcal{O} est une **opérade de Koszul** si son complexe de Koszul est acyclique.

Cette propriété est vérifiée dès qu'il existe une orientation \Rightarrow des relations de $\mathfrak{K}_{\mathcal{O}}$ de sorte que \Rightarrow soit une **règle de réécriture convergente** sur les arbres de $\mathfrak{F}(\mathcal{G}_{\mathcal{O}})$ [Hoffbeck, 2010].

Exemple

On rappelle que **Comp** admet la présentation $(\mathcal{G}_{\text{Comp}}, \mathfrak{K}_{\text{Comp}})$ où

$\mathcal{G}_{\text{Comp}} := \mathcal{G}_{\text{Comp}}(2) := \{a, b\}$ et $\mathfrak{K}_{\text{Comp}}$ est l'espace engendré par

$$a \circ_1 a - a \circ_2 a, \quad b \circ_1 a - a \circ_2 b, \quad b \circ_1 b - b \circ_2 a, \quad a \circ_1 b - b \circ_2 b.$$

Pour démontrer que **Comp** est de Koszul, on considère la règle de réécriture \Rightarrow définie par

$$a \circ_1 a \Rightarrow a \circ_2 a, \quad b \circ_1 a \Rightarrow a \circ_2 b, \quad b \circ_1 b \Rightarrow b \circ_2 a, \quad a \circ_1 b \Rightarrow b \circ_2 b.$$

Voici quelques réécritures par \Rightarrow :



Opérades de Koszul

\mathcal{O} est une **opérade de Koszul** si son complexe de Koszul est acyclique.

Cette propriété est vérifiée dès qu'il existe une orientation \Rightarrow des relations de $\mathfrak{R}_{\mathcal{O}}$ de sorte que \Rightarrow soit une **règle de réécriture convergente** sur les arbres de $\mathfrak{F}(\mathcal{G}_{\mathcal{O}})$ [Hoffbeck, 2010].

Exemple

On rappelle que **Comp** admet la présentation $(\mathcal{G}_{\text{Comp}}, \mathfrak{R}_{\text{Comp}})$ où

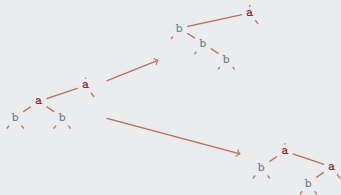
$\mathcal{G}_{\text{Comp}} := \mathcal{G}_{\text{Comp}}(2) := \{a, b\}$ et $\mathfrak{R}_{\text{Comp}}$ est l'espace engendré par

$$a \circ_1 a - a \circ_2 a, \quad b \circ_1 a - a \circ_2 b, \quad b \circ_1 b - b \circ_2 a, \quad a \circ_1 b - b \circ_2 b.$$

Pour démontrer que **Comp** est de Koszul, on considère la règle de réécriture \Rightarrow définie par

$$a \circ_1 a \Rightarrow a \circ_2 a, \quad b \circ_1 a \Rightarrow a \circ_2 b, \quad b \circ_1 b \Rightarrow b \circ_2 a, \quad a \circ_1 b \Rightarrow b \circ_2 b.$$

Voici quelques réécritures par \Rightarrow :



Opérades de Koszul

\mathcal{O} est une **opérade de Koszul** si son complexe de Koszul est acyclique.

Cette propriété est vérifiée dès qu'il existe une orientation \Rightarrow des relations de $\mathfrak{R}_{\mathcal{O}}$ de sorte que \Rightarrow soit une **règle de réécriture convergente** sur les arbres de $\mathfrak{F}(\mathcal{G}_{\mathcal{O}})$ [Hoffbeck, 2010].

Exemple

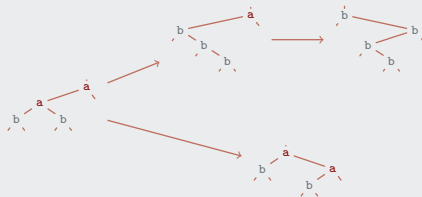
On rappelle que **Comp** admet la présentation $(\mathcal{G}_{\text{Comp}}, \mathfrak{R}_{\text{Comp}})$ où $\mathcal{G}_{\text{Comp}} := \mathcal{G}_{\text{Comp}}(2) := \{a, b\}$ et $\mathfrak{R}_{\text{Comp}}$ est l'espace engendré par

$$a \circ_1 a - a \circ_2 a, \quad b \circ_1 a - a \circ_2 b, \quad b \circ_1 b - b \circ_2 a, \quad a \circ_1 b - b \circ_2 b.$$

Pour démontrer que **Comp** est de Koszul, on considère la règle de réécriture \Rightarrow définie par

$$a \circ_1 a \Rightarrow a \circ_2 a, \quad b \circ_1 a \Rightarrow a \circ_2 b, \quad b \circ_1 b \Rightarrow b \circ_2 a, \quad a \circ_1 b \Rightarrow b \circ_2 b.$$

Voici quelques réécritures par \Rightarrow :



Opérades de Koszul

\mathcal{O} est une **opérade de Koszul** si son complexe de Koszul est acyclique.

Cette propriété est vérifiée dès qu'il existe une orientation \Rightarrow des relations de $\mathfrak{R}_{\mathcal{O}}$ de sorte que \Rightarrow soit une **règle de réécriture convergente** sur les arbres de $\mathfrak{F}(\mathcal{G}_{\mathcal{O}})$ [Hoffbeck, 2010].

Exemple

On rappelle que **Comp** admet la présentation $(\mathcal{G}_{\text{Comp}}, \mathfrak{R}_{\text{Comp}})$ où

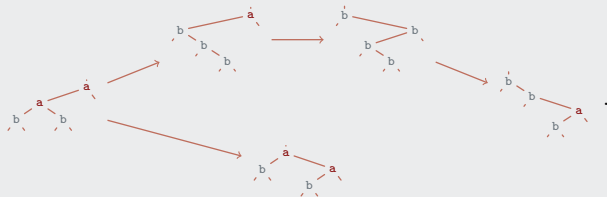
$\mathcal{G}_{\text{Comp}} := \mathcal{G}_{\text{Comp}}(2) := \{a, b\}$ et $\mathfrak{R}_{\text{Comp}}$ est l'espace engendré par

$$a \circ_1 a - a \circ_2 a, \quad b \circ_1 a - a \circ_2 b, \quad b \circ_1 b - b \circ_2 a, \quad a \circ_1 b - b \circ_2 b.$$

Pour démontrer que **Comp** est de Koszul, on considère la règle de réécriture \Rightarrow définie par

$$a \circ_1 a \Rightarrow a \circ_2 a, \quad b \circ_1 a \Rightarrow a \circ_2 b, \quad b \circ_1 b \Rightarrow b \circ_2 a, \quad a \circ_1 b \Rightarrow b \circ_2 b.$$

Voici quelques réécritures par \Rightarrow :



Opérades de Koszul

\mathcal{O} est une **opérade de Koszul** si son complexe de Koszul est acyclique.

Cette propriété est vérifiée dès qu'il existe une orientation \Rightarrow des relations de $\mathfrak{R}_{\mathcal{O}}$ de sorte que \Rightarrow soit une **règle de réécriture convergente** sur les arbres de $\mathfrak{F}(\mathcal{G}_{\mathcal{O}})$ [Hoffbeck, 2010].

Exemple

On rappelle que **Comp** admet la présentation $(\mathcal{G}_{\text{Comp}}, \mathfrak{R}_{\text{Comp}})$ où

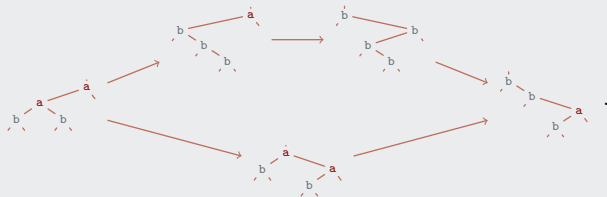
$\mathcal{G}_{\text{Comp}} := \mathcal{G}_{\text{Comp}}(2) := \{a, b\}$ et $\mathfrak{R}_{\text{Comp}}$ est l'espace engendré par

$$a \circ_1 a - a \circ_2 a, \quad b \circ_1 a - a \circ_2 b, \quad b \circ_1 b - b \circ_2 a, \quad a \circ_1 b - b \circ_2 b.$$

Pour démontrer que **Comp** est de Koszul, on considère la règle de réécriture \Rightarrow définie par

$$a \circ_1 a \Rightarrow a \circ_2 a, \quad b \circ_1 a \Rightarrow a \circ_2 b, \quad b \circ_1 b \Rightarrow b \circ_2 a, \quad a \circ_1 b \Rightarrow b \circ_2 b.$$

Voici quelques réécritures par \Rightarrow :



Dualité de Koszul

Soit \mathcal{O} une opérade binaire et quadratique de présentation $(\mathfrak{G}_{\mathcal{O}}, \mathfrak{R}_{\mathcal{O}})$.

Dualité de Koszul

Soit \mathcal{O} une opérade binaire et quadratique de présentation $(\mathfrak{G}_{\mathcal{O}}, \mathfrak{R}_{\mathcal{O}})$.

Le **dual de Koszul** [Ginzburg, Kapranov, 1994] de \mathcal{O} est l'opérade $\mathcal{O}^!$ de présentation $(\mathfrak{G}_{\mathcal{O}}, \mathfrak{R}_{\mathcal{O}}^{\perp})$ où $\mathfrak{R}_{\mathcal{O}}^{\perp}$ est l'annihilateur de $\mathfrak{R}_{\mathcal{O}}$

Dualité de Koszul

Soit \mathcal{O} une opérade binaire et quadratique de présentation $(\mathfrak{G}_{\mathcal{O}}, \mathfrak{R}_{\mathcal{O}})$.

Le **dual de Koszul** [Ginzburg, Kapranov, 1994] de \mathcal{O} est l'opérade $\mathcal{O}^!$ de présentation $(\mathfrak{G}_{\mathcal{O}}, \mathfrak{R}_{\mathcal{O}}^{\perp})$ où $\mathfrak{R}_{\mathcal{O}}^{\perp}$ est l'annihilateur de $\mathfrak{R}_{\mathcal{O}}$ par rapport au produit scalaire

$$\langle -, - \rangle : \mathfrak{F}(\mathfrak{G}_{\mathcal{O}})(3) \otimes \mathfrak{F}(\mathfrak{G}_{\mathcal{O}})(3) \rightarrow \mathbb{K}$$

Dualité de Koszul

Soit \mathcal{O} une opérade binaire et quadratique de présentation $(\mathfrak{G}_{\mathcal{O}}, \mathfrak{R}_{\mathcal{O}})$.

Le **dual de Koszul** [Ginzburg, Kapranov, 1994] de \mathcal{O} est l'opérade $\mathcal{O}^!$ de présentation $(\mathfrak{G}_{\mathcal{O}}, \mathfrak{R}_{\mathcal{O}}^{\perp})$ où $\mathfrak{R}_{\mathcal{O}}^{\perp}$ est l'annihlateur de $\mathfrak{R}_{\mathcal{O}}$ par rapport au produit scalaire

$$\langle -, - \rangle : \mathfrak{F}(\mathfrak{G}_{\mathcal{O}})(3) \otimes \mathfrak{F}(\mathfrak{G}_{\mathcal{O}})(3) \rightarrow \mathbb{K}$$

défini linéairement pour tous $x, x', y, y' \in \mathfrak{G}_{\mathcal{O}}(2)$, par

$$\langle x \circ_i y, x' \circ_{i'} y' \rangle := \begin{cases} 1 & \text{si } x = x', y = y', \text{ et } i = i' = 1, \\ -1 & \text{si } x = x', y = y', \text{ et } i = i' = 2, \\ 0 & \text{sinon.} \end{cases}$$

Dualité de Koszul

Soit \mathcal{O} une opérade binaire et quadratique de présentation $(\mathfrak{G}_{\mathcal{O}}, \mathfrak{R}_{\mathcal{O}})$.

Le **dual de Koszul** [Ginzburg, Kapranov, 1994] de \mathcal{O} est l'opérade $\mathcal{O}^!$ de présentation $(\mathfrak{G}_{\mathcal{O}}, \mathfrak{R}_{\mathcal{O}}^{\perp})$ où $\mathfrak{R}_{\mathcal{O}}^{\perp}$ est l'annihilateur de $\mathfrak{R}_{\mathcal{O}}$ par rapport au produit scalaire

$$\langle -, - \rangle : \mathfrak{F}(\mathfrak{G}_{\mathcal{O}})(3) \otimes \mathfrak{F}(\mathfrak{G}_{\mathcal{O}})(3) \rightarrow \mathbb{K}$$

défini linéairement pour tous $x, x', y, y' \in \mathfrak{G}_{\mathcal{O}}(2)$, par

$$\langle x \circ_i y, x' \circ_{i'} y' \rangle := \begin{cases} 1 & \text{si } x = x', y = y', \text{ et } i = i' = 1, \\ -1 & \text{si } x = x', y = y', \text{ et } i = i' = 2, \\ 0 & \text{sinon.} \end{cases}$$

Ainsi, à partir d'une présentation de \mathcal{O} , on calcule une présentation de $\mathcal{O}^!$.

Propriétés de la dualité de Koszul

Théorème [Ginzburg, Kapranov, 1994]

Pour toute opérade \mathcal{O} admettant une présentation binaire et quadratique,

$$\mathcal{O}^{!!} = \mathcal{O}.$$

Propriétés de la dualité de Koszul

Théorème [Ginzburg, Kapranov, 1994]

Pour toute opérade \mathcal{O} admettant une présentation binaire et quadratique,

$$\mathcal{O}^{!!} = \mathcal{O}.$$

Théorème [Ginzburg, Kapranov, 1994]

Lorsque \mathcal{O} est une **opérade de Koszul** admettant une présentation binaire et quadratique, les séries de Hilbert de \mathcal{O} et $\mathcal{O}^!$ vérifient

$$\mathcal{H}_{\mathcal{O}}(-\mathcal{H}_{\mathcal{O}^!}(-t)) = t.$$

Propriétés de la dualité de Koszul

Théorème [Ginzburg, Kapranov, 1994]

Pour toute opérade \mathcal{O} admettant une présentation binaire et quadratique,

$$\mathcal{O}^{!!} = \mathcal{O}.$$

Théorème [Ginzburg, Kapranov, 1994]

Lorsque \mathcal{O} est une **opérade de Koszul** admettant une présentation binaire et quadratique, les séries de Hilbert de \mathcal{O} et $\mathcal{O}^!$ vérifient

$$\mathcal{H}_{\mathcal{O}}(-\mathcal{H}_{\mathcal{O}^!}(-t)) = t.$$

Ainsi, lorsque \mathcal{O} admet une présentation binaire et quadratique,

présentation de $\mathcal{O} \rightsquigarrow$ présentation de $\mathcal{O}^!$,

série de Hilbert de $\mathcal{O} \rightsquigarrow$ série de Hilbert de $\mathcal{O}^!$.

Plan

Opérades de cliques

Cliques décorées

Soit $(\mathcal{M}, \star, \mathbb{1}_{\mathcal{M}})$ un magma unitaire (axiome : $x \star \mathbb{1}_{\mathcal{M}} = x = \mathbb{1}_{\mathcal{M}} \star x$).

Cliques décorées

Soit $(\mathcal{M}, \star, \mathbb{1}_{\mathcal{M}})$ un magma unitaire (axiome : $x \star \mathbb{1}_{\mathcal{M}} = x = \mathbb{1}_{\mathcal{M}} \star x$).

Une \mathcal{M} -clique \mathfrak{p} est une clique sur $[n + 1]$ dont chaque arête (x, y) est décorée par un élément $\mathfrak{p}(x, y)$ de \mathcal{M} . La taille $|\mathfrak{p}|$ de \mathfrak{p} est n .

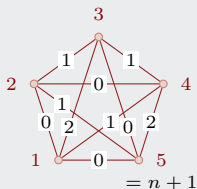
Cliques décorées

Soit $(\mathcal{M}, \star, \mathbb{1}_{\mathcal{M}})$ un magma unitaire (axiome : $x \star \mathbb{1}_{\mathcal{M}} = x = \mathbb{1}_{\mathcal{M}} \star x$).

Une \mathcal{M} -clique \mathfrak{p} est une clique sur $[n + 1]$ dont chaque arête (x, y) est décorée par un élément $\mathfrak{p}(x, y)$ de \mathcal{M} . La taille $|\mathfrak{p}|$ de \mathfrak{p} est n .

Exemple

Soit \mathcal{M} le magma $(\mathbb{Z}/3\mathbb{Z}, +, 0)$. Voici une \mathcal{M} -clique :



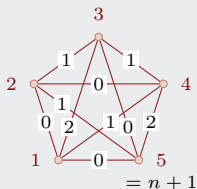
Cliques décorées

Soit $(\mathcal{M}, \star, \mathbb{1}_{\mathcal{M}})$ un magma unitaire (axiome : $x \star \mathbb{1}_{\mathcal{M}} = x = \mathbb{1}_{\mathcal{M}} \star x$).

Une \mathcal{M} -clique \mathfrak{p} est une clique sur $[n + 1]$ dont chaque arête (x, y) est décorée par un élément $\mathfrak{p}(x, y)$ de \mathcal{M} . La taille $|\mathfrak{p}|$ de \mathfrak{p} est n .

Exemple

Soit \mathcal{M} le magma $(\mathbb{Z}/3\mathbb{Z}, +, 0)$. Voici une \mathcal{M} -clique :



Une arête (x, y) de \mathfrak{p} est pleine si $\mathfrak{p}(x, y) \neq \mathbb{1}_{\mathcal{M}}$.

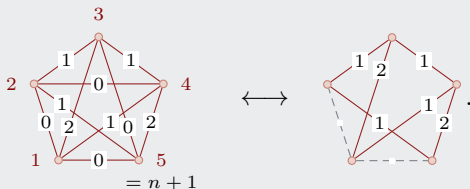
Cliques décorées

Soit $(\mathcal{M}, \star, \mathbb{1}_{\mathcal{M}})$ un magma unitaire (axiome : $x \star \mathbb{1}_{\mathcal{M}} = x = \mathbb{1}_{\mathcal{M}} \star x$).

Une \mathcal{M} -clique \mathfrak{p} est une clique sur $[n + 1]$ dont chaque arête (x, y) est décorée par un élément $\mathfrak{p}(x, y)$ de \mathcal{M} . La taille $|\mathfrak{p}|$ de \mathfrak{p} est n .

Exemple

Soit \mathcal{M} le magma $(\mathbb{Z}/3\mathbb{Z}, +, 0)$. Voici une \mathcal{M} -clique :



Une arête (x, y) de \mathfrak{p} est **pleine** si $\mathfrak{p}(x, y) \neq \mathbb{1}_{\mathcal{M}}$. On ne représente que les arêtes pleines.

Opérade des cliques

Soit \mathbf{C} le foncteur de la catégorie des magmas unitaires vers la catégorie des espaces vectoriels défini par

$$\mathbf{C}\mathcal{M} := \bigoplus_{n \geq 1} \mathbf{C}\mathcal{M}(n),$$

où $\mathbf{C}\mathcal{M}(n)$ est l'espace des \mathcal{M} -cliques de taille n .

Opérade des cliques

Soit \mathbf{C} le foncteur de la catégorie des magmas unitaires vers la catégorie des espaces vectoriels défini par

$$\mathbf{C}\mathcal{M} := \bigoplus_{n \geq 1} \mathbf{C}\mathcal{M}(n),$$

où $\mathbf{C}\mathcal{M}(n)$ est l'espace des \mathcal{M} -cliques de taille n .

Par convention, $\mathbf{C}\mathcal{M}(1)$ est l'espace engendré par $\circ - \circ$.

Opérade des cliques

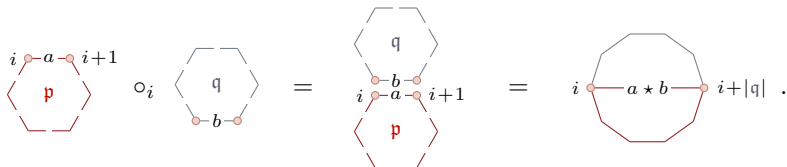
Soit \mathcal{C} le foncteur de la catégorie des magmas unitaires vers la catégorie des espaces vectoriels défini par

$$\mathcal{CM} := \bigoplus_{n \geq 1} \mathcal{CM}(n),$$

où $\mathcal{CM}(n)$ est l'espace des \mathcal{M} -cliques de taille n .

Par convention, $\mathcal{CM}(1)$ est l'espace engendré par $\circ - \circ$.

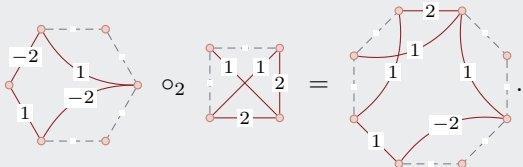
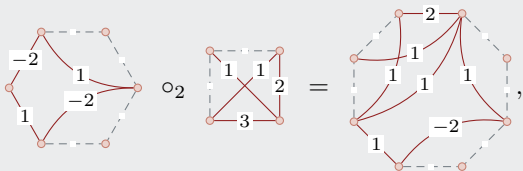
On munit cet espace de la composition partielle \circ_i définie par



Opérade des cliques

Exemple

Dans $\mathbb{C}\mathbb{Z}$,



Propriétés et dimensions

Théorème

\mathcal{C} est un foncteur de la catégorie des magmas unitaires vers celle des opérades.

Propriétés et dimensions

Théorème

\mathbf{C} est un foncteur de la catégorie des magmas unitaires vers celle des opérades.

Les dimensions de $\mathbf{C}\mathcal{M}$ vérifient, quand \mathcal{M} est fini, $\dim \mathbf{C}\mathcal{M}(1) = 1$ et, pour tout $n \geq 2$,

$$\dim \mathbf{C}\mathcal{M}(n) = m \binom{n+1}{2},$$

où $m := \#\mathcal{M}$.

P.ex.,

$$1, 1, 1, 1, 1, 1, \quad m = 1,$$

$$1, 8, 64, 1024, 32768, 2097152, \quad m = 2,$$

$$1, 27, 729, 59049, 14348907, 10460353203, \quad m = 3,$$

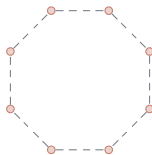
$$1, 64, 4096, 1048576, 1073741824, 4398046511104, \quad m = 4.$$

\mathcal{M} -cliques premières

Une \mathcal{M} -clique \mathfrak{p} est **première** si pour toute diagonale (x, y) , il existe une arête pleine croisant (x, y) .

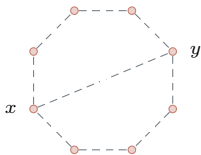
\mathcal{M} -cliques premières

Une \mathcal{M} -clique \mathfrak{p} est **première** si pour toute diagonale (x, y) , il existe une arête pleine croisant (x, y) .



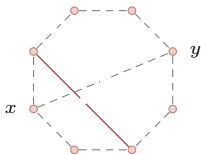
\mathcal{M} -cliques premières

Une \mathcal{M} -clique \mathfrak{p} est **première** si pour toute diagonale (x, y) , il existe une arête pleine croisant (x, y) .



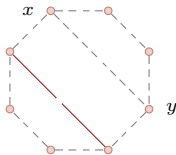
\mathcal{M} -cliques premières

Une \mathcal{M} -clique \mathfrak{p} est **première** si pour toute diagonale (x, y) , il existe une arête pleine croisant (x, y) .



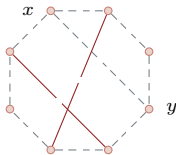
\mathcal{M} -cliques premières

Une \mathcal{M} -clique p est **première** si pour toute diagonale (x, y) , il existe une arête pleine croisant (x, y) .



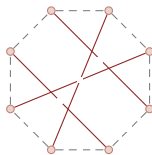
\mathcal{M} -cliques premières

Une \mathcal{M} -clique p est **première** si pour toute diagonale (x, y) , il existe une arête pleine croisant (x, y) .



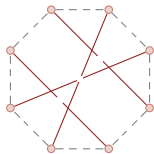
\mathcal{M} -cliques premières

Une \mathcal{M} -clique \mathfrak{p} est **première** si pour toute diagonale (x, y) , il existe une arête pleine croisant (x, y) .



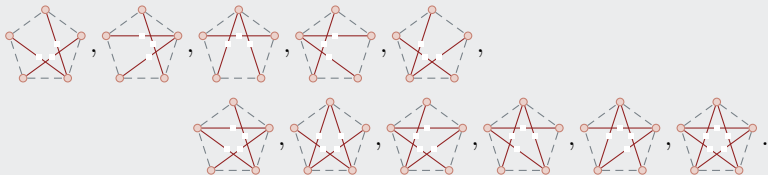
\mathcal{M} -cliques premières

Une \mathcal{M} -clique p est **première** si pour toute diagonale (x, y) , il existe une arête pleine croisant (x, y) .



Exemple

Les \mathcal{M} -cliques premières d'arité 4 de base et côtés non pleins sont



Famille génératrice

Proposition

L'ensemble des \mathcal{M} -cliques premières est un ensemble générateur minimal de \mathbf{CM} .

Famille génératrice

Proposition

L'ensemble des \mathcal{M} -cliques premières est un ensemble générateur minimal de \mathbf{CM} .

Cardinaux (pour $m = 2$) :

0, 8, 16, 352, 16448, 1380224.

Famille génératrice

Proposition

L'ensemble des \mathcal{M} -cliques premières est un ensemble générateur minimal de \mathbf{CM} .

Cardinaux (pour $m = 2$) :

0, 8, 16, 352, 16448, 1380224.

Ces cardinaux sont divisibles par m^{n+1} car les décorations des bases et des côtés sont libres. Ceci donne

0, 1, 1, 11, 257, 10783.

Famille génératrice

Proposition

L'ensemble des \mathcal{M} -cliques premières est un ensemble générateur minimal de \mathbf{CM} .

Cardinaux (pour $m = 2$) :

0, 8, 16, 352, 16448, 1380224.

Ces cardinaux sont divisibles par m^{n+1} car les décorations des bases et des côtés sont libres. Ceci donne

0, 1, 1, 11, 257, 10783.

Les nombres de \mathcal{M} -cliques premières minimales (au sens des diagonales pleines nécessaires) sont, pour $m = 2$,

0, 1, 1, 5, 22, 119.

Famille génératrice

Proposition

L'ensemble des \mathcal{M} -cliques premières est un ensemble générateur minimal de \mathbf{CM} .

Cardinaux (pour $m = 2$) :

0, 8, 16, 352, 16448, 1380224.

Ces cardinaux sont divisibles par m^{n+1} car les décorations des bases et des côtés sont libres. Ceci donne

0, 1, 1, 11, 257, 10783.

Les nombres de \mathcal{M} -cliques premières minimales (au sens des diagonales pleines nécessaires) sont, pour $m = 2$,

0, 1, 1, 5, 22, 119.

Questions

- ▶ Dénombrer les \mathcal{M} -cliques premières.
- ▶ Dénombrer les \mathcal{M} -cliques premières minimales.

Bases alternatives

Soient \mathfrak{p} et \mathfrak{q} deux \mathcal{M} -cliques.

Bases alternatives

Soient \mathfrak{p} et \mathfrak{q} deux \mathcal{M} -cliques.

On pose $\mathfrak{p} \preceq_{\text{be}} \mathfrak{q}$ (resp. $\mathfrak{p} \preceq_{\text{d}} \mathfrak{q}$) si \mathfrak{q} peut être obtenue en remplissant la base ou des arêtes du bord (resp. des diagonales) de \mathfrak{p} .

Bases alternatives

Soient \mathfrak{p} et \mathfrak{q} deux \mathcal{M} -cliques.

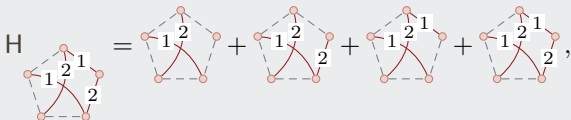
On pose $\mathfrak{p} \preceq_{be} \mathfrak{q}$ (resp. $\mathfrak{p} \preceq_d \mathfrak{q}$) si \mathfrak{q} peut être obtenue en remplissant la base ou des arêtes du bord (resp. des diagonales) de \mathfrak{p} .

Soient les éléments de \mathcal{CM}

$$H_{\mathfrak{p}} := \sum_{\mathfrak{p}' \preceq_{be} \mathfrak{p}}$$

Exemple

Dans \mathcal{CZ} ,



Bases alternatives

Soient \mathbf{p} et \mathbf{q} deux \mathcal{M} -cliques.

On pose $\mathbf{p} \preceq_{be} \mathbf{q}$ (resp. $\mathbf{p} \preceq_d \mathbf{q}$) si \mathbf{q} peut être obtenue en remplissant la base ou des arêtes du bord (resp. des diagonales) de \mathbf{p} .

Soient les éléments de \mathcal{CM}

$$H_{\mathbf{p}} := \sum_{\mathbf{p}' \preceq_{be} \mathbf{p}} \mathbf{p}' \quad \text{et} \quad K_{\mathbf{p}} := \sum_{\mathbf{p}' \preceq_d \mathbf{p}} (-1)^{\text{ham}(\mathbf{p}', \mathbf{p})} \mathbf{p}'.$$

Exemple

Dans \mathcal{CZ} ,

Diagrammatic representation of the decomposition of H and K for a 5-clique in \mathcal{CZ} . The 5-clique is shown as a pentagon with vertices and edges. Edges are labeled 1 or 2. The decomposition shows H as a sum of four 5-cliques and K as a sum of four 5-cliques with alternating signs.

$$H = \text{Diagram 1} + \text{Diagram 2} + \text{Diagram 3} + \text{Diagram 4},$$

$$K = \text{Diagram 1} - \text{Diagram 2} - \text{Diagram 3} + \text{Diagram 4}.$$

Bases alternatives

Proposition

Pour toutes \mathcal{M} -cliques \mathbf{p} et \mathbf{q} différentes de $\circ\text{---}\circ$,

$$H_{\mathbf{p} \circ_i \mathbf{q}} = \begin{cases} H_{\mathbf{p} \circ_i \mathbf{q}} + H_{d_i(\mathbf{p}) \circ_i \mathbf{q}} + H_{\mathbf{p} \circ_i d_0(\mathbf{q})} + H_{d_i(\mathbf{p}) \circ_i d_0(\mathbf{q})} & \text{si } \mathbf{p}_i \neq \mathbb{1}_{\mathcal{M}} \text{ et } \mathbf{q}_0 \neq \mathbb{1}_{\mathcal{M}}, \\ H_{\mathbf{p} \circ_i \mathbf{q}} + H_{d_i(\mathbf{p}) \circ_i \mathbf{q}} & \text{si } \mathbf{p}_i \neq \mathbb{1}_{\mathcal{M}}, \\ H_{\mathbf{p} \circ_i \mathbf{q}} + H_{\mathbf{p} \circ_i d_0(\mathbf{q})} & \text{si } \mathbf{q}_0 \neq \mathbb{1}_{\mathcal{M}}, \\ H_{\mathbf{p} \circ_i \mathbf{q}} & \text{sinon.} \end{cases}$$

$d_0(\mathbf{p})$ (resp. $d_i(\mathbf{p})$) est la \mathcal{M} -clique obtenue en effaçant la base (resp. le i^e coté) de \mathbf{p} .

Bases alternatives

Proposition

Pour toutes \mathcal{M} -cliques \mathbf{p} et \mathbf{q} différentes de $\circ \text{---} \circ$,

$$H_{\mathbf{p} \circ_i \mathbf{q}} = \begin{cases} H_{\mathbf{p} \circ_i \mathbf{q}} + H_{d_i(\mathbf{p}) \circ_i \mathbf{q}} + H_{\mathbf{p} \circ_i d_0(\mathbf{q})} + H_{d_i(\mathbf{p}) \circ_i d_0(\mathbf{q})} & \text{si } \mathbf{p}_i \neq \mathbb{1}_{\mathcal{M}} \text{ et } \mathbf{q}_0 \neq \mathbb{1}_{\mathcal{M}}, \\ H_{\mathbf{p} \circ_i \mathbf{q}} + H_{d_i(\mathbf{p}) \circ_i \mathbf{q}} & \text{si } \mathbf{p}_i \neq \mathbb{1}_{\mathcal{M}}, \\ H_{\mathbf{p} \circ_i \mathbf{q}} + H_{\mathbf{p} \circ_i d_0(\mathbf{q})} & \text{si } \mathbf{q}_0 \neq \mathbb{1}_{\mathcal{M}}, \\ H_{\mathbf{p} \circ_i \mathbf{q}} & \text{sinon.} \end{cases}$$

$d_0(\mathbf{p})$ (resp. $d_i(\mathbf{p})$) est la \mathcal{M} -clique obtenue en effaçant la base (resp. le i^e coté) de \mathbf{p} .

Exemple

Dans $\mathbb{C}\mathbb{Z}$,

$$H \begin{array}{c} \circ \\ \diagup \quad \diagdown \\ \circ \quad \circ \\ \text{1} \end{array} \circ_2 H \begin{array}{c} \circ \\ \diagdown \quad \diagup \\ \circ \quad \circ \\ \text{1} \end{array} = H \begin{array}{c} \circ \text{---} \circ \\ | \quad | \\ \circ \text{---} \circ \end{array} + 2 H \begin{array}{c} \circ \text{---} \circ \\ | \quad | \\ \circ \text{---} \circ \\ \text{1} \end{array} + H \begin{array}{c} \circ \text{---} \circ \\ | \quad | \\ \circ \text{---} \circ \\ \text{2} \end{array} .$$

Bases alternatives

Proposition

Pour toutes \mathcal{M} -cliques \mathfrak{p} et \mathfrak{q} différentes de $\circ - \circ$,

$$K_{\mathfrak{p}} \circ_i K_{\mathfrak{q}} = \begin{cases} K_{\mathfrak{p} \circ_i \mathfrak{q}} & \text{si } \mathfrak{p}_i \star \mathfrak{q}_0 = \mathbb{1}_{\mathcal{M}}, \\ K_{\mathfrak{p} \circ_i \mathfrak{q}} + K_{d_i(\mathfrak{p}) \circ_i d_0(\mathfrak{q})} & \text{sinon.} \end{cases}$$

Bases alternatives

Proposition

Pour toutes \mathcal{M} -cliques p et q différentes de $\circ - \circ$,

$$K_p \circ_i K_q = \begin{cases} K_{p \circ_i q} & \text{si } p_i \star q_0 = \mathbb{1}_{\mathcal{M}}, \\ K_{p \circ_i q} + K_{d_i(p) \circ_i d_0(q)} & \text{sinon.} \end{cases}$$

Exemple

Dans $\mathbb{C}\mathbb{Z}$,

$$K_{\begin{array}{c} \circ \text{---} \circ \\ \diagdown \quad \diagup \\ \circ \quad \circ \end{array}} \circ_2 K_{\begin{array}{c} \circ \text{---} \circ \\ \diagdown \quad \diagup \\ \circ \quad \circ \end{array}} = K_{\begin{array}{c} \circ \text{---} \circ \\ \diagdown \quad \diagup \\ \circ \text{---} \circ \\ \diagdown \quad \diagup \\ \circ \quad \circ \end{array}},$$

$$K_{\begin{array}{c} \circ \text{---} \circ \\ \diagdown \quad \diagup \\ \circ \quad \circ \end{array}} \circ_2 K_{\begin{array}{c} \circ \text{---} \circ \\ \diagdown \quad \diagup \\ \circ \quad \circ \end{array}} = K_{\begin{array}{c} \circ \text{---} \circ \\ \diagdown \quad \diagup \\ \circ \quad \circ \end{array}} + K_{\begin{array}{c} \circ \text{---} \circ \\ \diagdown \quad \diagup \\ \circ \quad \circ \end{array}}.$$

L'opérade des fonctions rationnelles

Soit $\mathbb{U} := \{u_1, u_2, \dots\}$ un alphabet infini de variables commutatives.

L'opérade des fonctions rationnelles

Soit $\mathbb{U} := \{u_1, u_2, \dots\}$ un alphabet infini de variables commutatives.

L'espace des fonctions rationnelles $\mathbb{K}(\mathbb{U})$ admet la structure d'opérade [Loday, 2010] donnée par

$$f \circ_i g := f(u_1, \dots, u_{i-1}, u_i + \dots + u_{i+m-1}, u_{i+m}, \dots, u_{n+m-1}) g(u_i, \dots, u_{i+m-1}),$$

où $f \in \mathbb{K}(u_1, \dots, u_n)$ et $g \in \mathbb{K}(u_1, \dots, u_m)$.

L'opérade des fonctions rationnelles

Soit $\mathbb{U} := \{u_1, u_2, \dots\}$ un alphabet infini de variables commutatives.

L'espace des fonctions rationnelles $\mathbb{K}(\mathbb{U})$ admet la structure d'opérade [Loday, 2010] donnée par

$$f \circ_i g := f(u_1, \dots, u_{i-1}, u_i + \dots + u_{i+m-1}, u_{i+m}, \dots, u_{n+m-1}) g(u_i, \dots, u_{i+m-1}),$$

où $f \in \mathbb{K}(u_1, \dots, u_n)$ et $g \in \mathbb{K}(u_1, \dots, u_m)$.

Exemple

$$\frac{1}{(u_1 + u_2)u_2} \circ_1 \frac{1}{u_1} = \frac{1}{u_1^2 u_3 + u_1 u_2 u_3 + u_1 u_3^2}$$

$\in \mathbb{K}(u_1, u_2, u_3)$ $\in \mathbb{K}(u_1, u_2)$ $\in \mathbb{K}(u_1, u_2, u_3, u_4)$

L'opérade des fonctions rationnelles

Soit $\mathbb{U} := \{u_1, u_2, \dots\}$ un alphabet infini de variables commutatives.

L'espace des fonctions rationnelles $\mathbb{K}(\mathbb{U})$ admet la structure d'opérade [Loday, 2010] donnée par

$$f \circ_i g := f(u_1, \dots, u_{i-1}, u_i + \dots + u_{i+m-1}, u_{i+m}, \dots, u_{n+m-1}) g(u_i, \dots, u_{i+m-1}),$$

où $f \in \mathbb{K}(u_1, \dots, u_n)$ et $g \in \mathbb{K}(u_1, \dots, u_m)$.

Exemple

$$\frac{1}{(u_1 + u_2)u_2} \circ_1 \frac{1}{u_1} = \frac{1}{u_1^2 u_3 + u_1 u_2 u_3 + u_1 u_3^2}$$

$\in \mathbb{K}(u_1, u_2, u_3)$ $\in \mathbb{K}(u_1, u_2)$ $\in \mathbb{K}(u_1, u_2, u_3, u_4)$

L'unité de $\mathbb{K}(\mathbb{U})$ est la fonction $\mathbb{1} \in \mathbb{K}(\mathbb{U})$ définie par $\mathbb{1}(u_1) := 1$.

Fonctions rationnelles de \mathbb{Z} -cliques

Soit

$$F : \mathbb{C}\mathbb{Z} \rightarrow \mathbb{K}(\mathbb{U})$$

l'application linéaire définie par

$$F(\mathbf{p}) := \prod_{(x,y) \text{ arc}} (u_x + \cdots + u_{y-1})^{\mathbf{p}(x,y)}.$$

Fonctions rationnelles de \mathbb{Z} -cliques

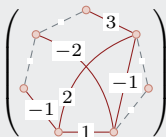
Soit

$$F : \mathbb{C}\mathbb{Z} \rightarrow \mathbb{K}(\mathbb{U})$$

l'application linéaire définie par

$$F(\mathbf{p}) := \prod_{(x,y) \text{ arc}} (u_x + \cdots + u_{y-1})^{p(x,y)}.$$

Exemple


$$F \left(\begin{array}{c} \text{Diagram} \end{array} \right) = \frac{(u_1 + u_2 + u_3 + u_4)^2 (u_1 + u_2 + u_3 + u_4 + u_5 + u_6) u_4^3}{u_1 (u_3 + u_4 + u_5 + u_6)^2 (u_5 + u_6)}.$$

Fonctions rationnelles de \mathbb{Z} -cliques

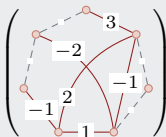
Soit

$$F : \mathbf{CZ} \rightarrow \mathbb{K}(\mathbf{U})$$

l'application linéaire définie par

$$F(\mathbf{p}) := \prod_{(x,y) \text{ arc}} (u_x + \cdots + u_{y-1})^{\mathbf{p}(x,y)}.$$

Exemple


$$F \left(\begin{array}{c} \text{Diagram} \end{array} \right) = \frac{(u_1 + u_2 + u_3 + u_4)^2 (u_1 + u_2 + u_3 + u_4 + u_5 + u_6) u_4^3}{u_1 (u_3 + u_4 + u_5 + u_6)^2 (u_5 + u_6)}.$$

Théorème

F est un morphisme d'opérades de \mathbf{CZ} vers $\mathbb{K}(\mathbf{U})$.

Fonctions rationnelles de \mathbb{Z} -cliques

Ce morphisme $\mathbb{F} : \mathbb{C}\mathbb{Z} \rightarrow \mathbb{K}(\mathbb{U})$ n'est pas injectif.

Fonctions rationnelles de \mathbb{Z} -cliques

Ce morphisme $F : \mathbb{C}\mathbb{Z} \rightarrow \mathbb{K}(\mathbb{U})$ n'est pas injectif.

On a p.ex.,

$$F \left(\begin{array}{c} \text{---} \circ \text{---} \\ \diagdown \quad \diagup \\ \circ \text{---} 1 \text{---} \circ \\ \diagup \quad \diagdown \\ \circ \text{---} \end{array} - \begin{array}{c} \text{---} \circ \text{---} \\ \diagdown \quad \diagup \\ \circ \text{---} 1 \text{---} \circ \\ \diagup \quad \diagdown \\ \circ \text{---} \end{array} - \begin{array}{c} \text{---} \circ \text{---} \\ \diagdown \quad \diagup \\ \circ \text{---} 1 \text{---} \circ \\ \diagup \quad \diagdown \\ \circ \text{---} \end{array} \right) = (u_1 + u_2) - u_1 - u_2 = 0,$$

$$F \left(\begin{array}{c} \text{---} \circ \text{---} 1 \text{---} \circ \\ | \quad | \quad | \\ \text{---} \circ \text{---} 1 \text{---} \circ \\ | \quad | \quad | \\ \text{---} \circ \text{---} \end{array} - \begin{array}{c} \text{---} \circ \text{---} 1 \text{---} \circ \\ | \quad | \quad | \\ \text{---} \circ \text{---} 1 \text{---} 1 \text{---} \circ \\ | \quad | \quad | \\ \text{---} \circ \text{---} \end{array} - \begin{array}{c} \text{---} \circ \text{---} 1 \text{---} \circ \\ | \quad | \quad | \\ \text{---} \circ \text{---} 1 \text{---} \circ \\ | \quad | \quad | \\ \text{---} \circ \text{---} \end{array} \right) = \frac{1}{u_2 u_3} - \frac{1}{(u_2 + u_3) u_3} - \frac{1}{u_2 (u_2 + u_3)} = 0.$$

Fonctions rationnelles de \mathbb{Z} -cliques

Ce morphisme $F : \mathbb{C}\mathbb{Z} \rightarrow \mathbb{K}(\mathbb{U})$ n'est pas injectif.

On a p.ex.,

$$F \left(\begin{array}{c} \text{triangle} \\ - \\ \text{triangle} \\ - \\ \text{triangle} \end{array} \right) = (u_1 + u_2) - u_1 - u_2 = 0,$$

$$F \left(\begin{array}{c} \text{square} \\ - \\ \text{square} \\ - \\ \text{square} \end{array} \right) = \frac{1}{u_2 u_3} - \frac{1}{(u_2 + u_3) u_3} - \frac{1}{u_2 (u_2 + u_3)} = 0.$$

Question

Calculer le noyau de F .

Plan

Sous-opérades et quotients

Sous-opérades et quotients

Idée A. : construire des quotients de \mathbf{CM} en

- ▶ prenant une famille X de \mathcal{M} -cliques;

Sous-opérades et quotients

Idée A. : construire des quotients de \mathbf{CM} en

- ▶ prenant une famille X de \mathcal{M} -cliques;
- ▶ considérant le sous-espace \mathfrak{R}_X de \mathbf{CM} engendré par les \mathcal{M} -cliques de \bar{X} ;

Sous-opérades et quotients

Idée A. : construire des quotients de \mathbf{CM} en

- ▶ prenant une famille X de \mathcal{M} -cliques;
- ▶ considérant le sous-espace \mathfrak{R}_X de \mathbf{CM} engendré par les \mathcal{M} -cliques de \bar{X} ;
- ▶ lorsque \mathfrak{R}_X est un idéal d'opérades de \mathbf{CM} , le quotient

$$\mathbf{CM}/\mathfrak{R}_X$$

est une opérade sur X .

Sous-opérades et quotients

Idée A. : construire des quotients de \mathcal{CM} en

- ▶ prenant une famille X de \mathcal{M} -cliques;
- ▶ considérant le sous-espace \mathfrak{R}_X de \mathcal{CM} engendré par les \mathcal{M} -cliques de \bar{X} ;
- ▶ lorsque \mathfrak{R}_X est un idéal d'opérades de \mathcal{CM} , le quotient

$$\mathcal{CM}/\mathfrak{R}_X$$

est une opérade sur X .

Idée B.1. : si \mathfrak{R}_1 et \mathfrak{R}_2 sont des idéaux d'une opérade \mathcal{O} , $\mathfrak{R}_1 + \mathfrak{R}_2$ est un idéal de \mathcal{O} et $\mathcal{O}/\mathfrak{R}_1 + \mathfrak{R}_2$ un quotient de \mathcal{O} .

Sous-opérades et quotients

Idée A. : construire des quotients de \mathcal{CM} en

- ▶ prenant une famille X de \mathcal{M} -cliques;
- ▶ considérant le sous-espace \mathfrak{R}_X de \mathcal{CM} engendré par les \mathcal{M} -cliques de \bar{X} ;
- ▶ lorsque \mathfrak{R}_X est un idéal d'opérades de \mathcal{CM} , le quotient

$$\mathcal{CM}/\mathfrak{R}_X$$

est une opérade sur X .

Idée B.1. : si \mathfrak{R}_1 et \mathfrak{R}_2 sont des idéaux d'une opérade \mathcal{O} , $\mathfrak{R}_1 + \mathfrak{R}_2$ est un idéal de \mathcal{O} et $\mathcal{O}/\mathfrak{R}_1 + \mathfrak{R}_2$ un quotient de \mathcal{O} .

Idée B.2. : si \mathcal{O}' est une sous-opérade de \mathcal{O} et \mathfrak{R} est un idéal de \mathcal{O} , $\mathfrak{R} \cap \mathcal{O}'$ est un idéal de \mathcal{O}' et $\mathcal{O}'/\mathfrak{R} \cap \mathcal{O}'$ un quotient de \mathcal{O}' .

Diagramme des sous-opérades et quotients principaux

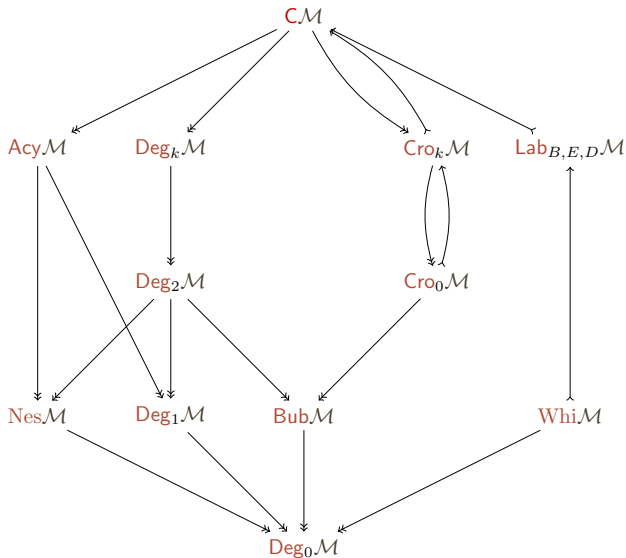
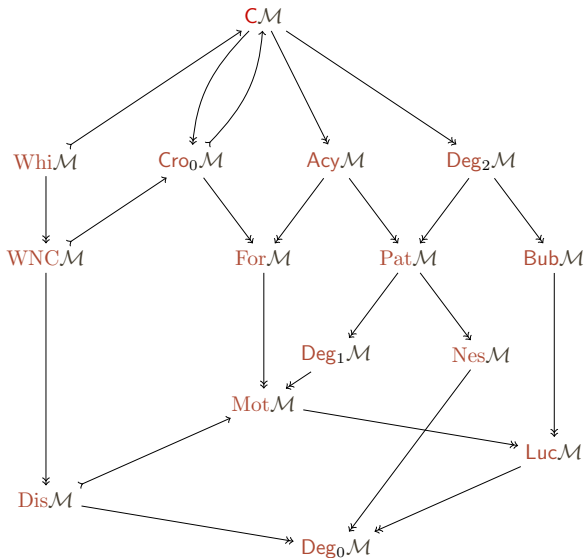


Diagramme des sous-opérades et quotients secondaires



\mathcal{M} -cliques à degrés bornés

Le **degré** d'un sommet x d'une \mathcal{M} -clique \mathfrak{p} est le nombre d'arcs pleins adjacents à x .

\mathcal{M} -cliques à degrés bornés

Le **degré** d'un sommet x d'une \mathcal{M} -clique \mathfrak{p} est le nombre d'arcs pleins adjacents à x .

Le **degré** de \mathfrak{p} est le degré maximal de ses sommets.

\mathcal{M} -cliques à degrés bornés

Le **degré** d'un sommet x d'une \mathcal{M} -clique \mathfrak{p} est le nombre d'arcs pleins adjacents à x .

Le **degré** de \mathfrak{p} est le degré maximal de ses sommets.

Exemple

Soit la \mathcal{M} -clique



Le degré de x est 2. Le degré de \mathfrak{p} est 3.

\mathcal{M} -cliques à degrés bornés

Le **degré** d'un sommet x d'une \mathcal{M} -clique \mathfrak{p} est le nombre d'arcs pleins adjacents à x .

Le **degré** de \mathfrak{p} est le degré maximal de ses sommets.

Exemple

Soit la \mathcal{M} -clique



Le degré de x est 2. Le degré de \mathfrak{p} est 3.

Soit $\mathfrak{R}_{\text{Deg}_k \mathcal{M}}$ le sous-espace de $\mathbf{C}\mathcal{M}$ engendré par les \mathcal{M} -cliques de degrés supérieurs à $k + 1$.

\mathcal{M} -cliques à degrés bornés

Le **degré** d'un sommet x d'une \mathcal{M} -clique \mathfrak{p} est le nombre d'arcs pleins adjacents à x .

Le **degré** de \mathfrak{p} est le degré maximal de ses sommets.

Exemple

Soit la \mathcal{M} -clique



Le degré de x est 2. Le degré de \mathfrak{p} est 3.

Soit $\mathfrak{R}_{\text{Deg}_k \mathcal{M}}$ le sous-espace de \mathbf{CM} engendré par les \mathcal{M} -cliques de degrés supérieurs à $k + 1$.

L'espace quotient

$$\text{Deg}_k \mathcal{M} := \mathbf{CM} / \mathfrak{R}_{\text{Deg}_k \mathcal{M}}$$

possède comme base les \mathcal{M} -cliques de degrés au plus k .

\mathcal{M} -cliques à degrés bornés

Proposition

Si \mathcal{M} est sans diviseur de l'unité, $\text{Deg}_k \mathcal{M}$ est une opérade quotient de $\mathbf{C}\mathcal{M}$.

\mathcal{M} -cliques à degrés bornés

Proposition

Si \mathcal{M} est sans diviseur de l'unité, $\text{Deg}_k \mathcal{M}$ est une opérade quotient de \mathbf{CM} .

Soit

$$\mathbb{D}_\ell := \{\mathbf{1}, 0, \mathbf{d}_1, \dots, \mathbf{d}_\ell\}$$

le magma unitaire tel que $\mathbf{1}$ est l'unité, 0 est absorbant et $\mathbf{d}_i \star \mathbf{d}_j = 0$. C'est un magma sans diviseur de l'unité.

\mathcal{M} -cliques à degrés bornés

Proposition

Si \mathcal{M} est sans diviseur de l'unité, $\text{Deg}_k \mathcal{M}$ est une opérade quotient de \mathbf{CM} .

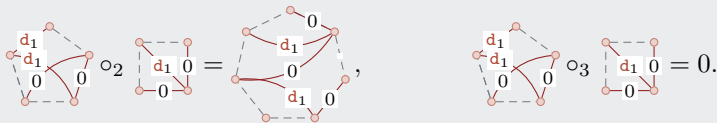
Soit

$$\mathbb{D}_\ell := \{\mathbb{1}, 0, \mathbf{d}_1, \dots, \mathbf{d}_\ell\}$$

le magma unitaire tel que $\mathbb{1}$ est l'unité, 0 est absorbant et $\mathbf{d}_i \star \mathbf{d}_j = 0$. C'est un magma sans diviseur de l'unité.

Exemple

Dans $\text{Deg}_3 \mathbb{D}_2$,



Opérateurs des involutions

Toute \mathbb{D}_0 -clique de degré inférieur à 1 est un diagramme d'involution.

Exemple

Cette \mathbb{D}_0 -clique de degré 1



code l'involution $(21)3(64)(58)7(A9)$.

Opérate des involutions

Toute \mathbb{D}_0 -clique de degré inférieur à 1 est un diagramme d'involution.

Exemple

Cette \mathbb{D}_0 -clique de degré 1



code l'involution $(21)3(64)(58)7(A9)$.

De ce fait, $\text{Deg}_1 \mathbb{D}_0$ est une opérade sur les involutions.

Opérate des involutions

Toute \mathbb{D}_0 -clique de degré inférieur à 1 est un diagramme d'involution.

Exemple

Cette \mathbb{D}_0 -clique de degré 1

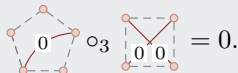
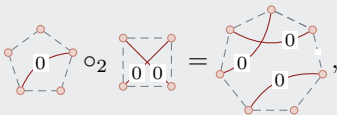


code l'involution $(21)3(64)(58)7(A9)$.

De ce fait, $\text{Deg}_1\mathbb{D}_0$ est une opérade sur les involutions.

Exemple

On a ainsi, dans $\text{Deg}_1\mathbb{D}_0$,



\mathcal{M} -cliques à croisements bornés

Le **croisement** d'une diagonale (x, y) d'une \mathcal{M} -clique \mathfrak{p} est le nombre de diagonales pleines croisant (x, y) .

\mathcal{M} -cliques à croisements bornés

Le **croisement** d'une diagonale (x, y) d'une \mathcal{M} -clique \mathfrak{p} est le nombre de diagonales pleines croisant (x, y) .

Le **croisement** de \mathfrak{p} est le croisement maximal de ses diagonales.

\mathcal{M} -cliques à croisements bornés

Le **croisement** d'une diagonale (x, y) d'une \mathcal{M} -clique \mathfrak{p} est le nombre de diagonales pleines croisant (x, y) .

Le **croisement** de \mathfrak{p} est le croisement maximal de ses diagonales.

Exemple

Soit la \mathcal{M} -clique



Le croisement de (x, y) est 2. Le croisement de \mathfrak{p} est 2.

\mathcal{M} -cliques à croisements bornés

Le **croisement** d'une diagonale (x, y) d'une \mathcal{M} -clique \mathfrak{p} est le nombre de diagonales pleines croisant (x, y) .

Le **croisement** de \mathfrak{p} est le croisement maximal de ses diagonales.

Exemple

Soit la \mathcal{M} -clique



Le croisement de (x, y) est 2. Le croisement de \mathfrak{p} est 2.

Soit $\mathfrak{R}_{\text{Cro}_k \mathcal{M}}$ le sous-espace de \mathcal{CM} engendré par les \mathcal{M} -cliques de croisements supérieurs à $k + 1$.

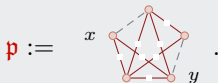
\mathcal{M} -cliques à croisements bornés

Le **croisement** d'une diagonale (x, y) d'une \mathcal{M} -clique \mathfrak{p} est le nombre de diagonales pleines croisant (x, y) .

Le **croisement** de \mathfrak{p} est le croisement maximal de ses diagonales.

Exemple

Soit la \mathcal{M} -clique



Le croisement de (x, y) est 2. Le croisement de \mathfrak{p} est 2.

Soit $\mathfrak{R}_{\text{Cro}_k \mathcal{M}}$ le sous-espace de \mathbf{CM} engendré par les \mathcal{M} -cliques de croisements supérieurs à $k + 1$.

L'espace quotient

$$\text{Cro}_k \mathcal{M} := \mathbf{CM} / \mathfrak{R}_{\text{Cro}_k \mathcal{M}}$$

possède comme base les \mathcal{M} -cliques de croisements au plus k .

\mathcal{M} -cliques à croisements bornés

Proposition

$\text{Cro}_k \mathcal{M}$ est à la fois une sous-opéade et une opéade quotient de \mathbf{CM} .

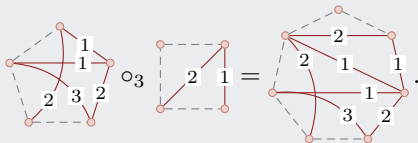
\mathcal{M} -cliques à croisements bornés

Proposition

$\text{Cro}_k \mathcal{M}$ est à la fois une sous-opérade et une opérade quotient de \mathcal{CM} .

Exemple

Dans $\text{Cro}_2 \mathbb{Z}$,



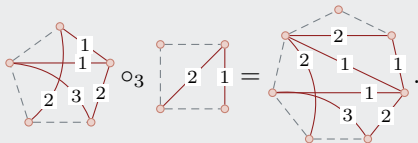
\mathcal{M} -cliques à croisements bornés

Proposition

$\text{Cro}_k \mathcal{M}$ est à la fois une sous-opérade et une opérade quotient de \mathcal{CM} .

Exemple

Dans $\text{Cro}_2 \mathbb{Z}$,



$\text{Cro}_0 \mathcal{M}$ et une opérade de **configurations non croisées** : celle-ci possède comme base les \mathcal{M} -cliques dont aucune diagonale pleine ne croise une autre.

L'opérade des configurations de Motzkin

Une **configuration de Motzkin** est une \mathbb{D}_0 -clique de croisement nul et de degré 0 ou 1.

Exemple



L'opérade des configurations de Motzkin

Une **configuration de Motzkin** est une \mathbb{D}_0 -clique de croisement nul et de degré 0 ou 1.

Exemple



Ainsi, l'espace

$$\text{Mot}\mathbb{D}_0 := \mathbb{C}\mathbb{D}_0 / \mathfrak{A}_{\text{Cro}_0\mathbb{D}_0} + \mathfrak{A}_{\text{Deg}_1\mathbb{D}_0}$$

admet pour base l'ensemble des configurations de Motzkin.

L'opérade des configurations de Motzkin

Une **configuration de Motzkin** est une \mathbb{D}_0 -clique de croisement nul et de degré 0 ou 1.

Exemple



Ainsi, l'espace

$$\text{Mot}\mathbb{D}_0 := \mathbb{C}\mathbb{D}_0 / \mathfrak{R}_{\text{Cro}_0\mathbb{D}_0} + \mathfrak{R}_{\text{Deg}_1\mathbb{D}_0}$$

admet pour base l'ensemble des configurations de Motzkin.

Proposition

$\text{Mot}\mathbb{D}_0$ est une opérade quotient de $\mathbb{C}\mathbb{D}_0$.

Plan

Opérades de configurations non croisées

\mathcal{M} -cliques non croisées et arbres duaux

Soit $\text{NC}\mathcal{M} := \text{Cro}_0\mathcal{M}$ l'opérade des configurations non croisées.

\mathcal{M} -cliques non croisées et arbres duaux

Soit $\text{NC}\mathcal{M} := \text{Cro}_0\mathcal{M}$ l'opéade des configurations non croisées.

Toute \mathcal{M} -clique \mathfrak{p} de $\text{NC}\mathcal{M}$ peut se voir comme un arbre, en considérant l'arbre dual de \mathfrak{p} .

\mathcal{M} -cliques non croisées et arbres duaux

Soit $\text{NCM} := \text{Cro}_0\mathcal{M}$ l'opérade des configurations non croisées.

Toute \mathcal{M} -clique \mathfrak{p} de NCM peut se voir comme un arbre, en considérant l'arbre dual de \mathfrak{p} .

On obtient des arbres étiquetés par des bulles dont les bases sont vides (sauf éventuellement la racine).

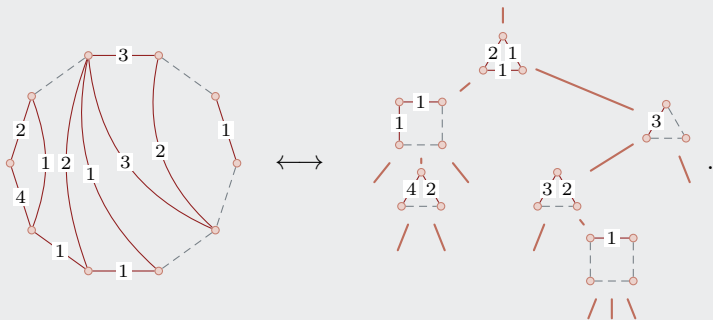
\mathcal{M} -cliques non croisées et arbres duaux

Soit $\text{NCM} := \text{Cro}_0\mathcal{M}$ l'opérade des configurations non croisées.

Toute \mathcal{M} -clique \mathfrak{p} de NCM peut se voir comme un arbre, en considérant l'arbre dual de \mathfrak{p} .

On obtient des arbres étiquetés par des bulles dont les bases sont vides (sauf éventuellement la racine).

Exemple



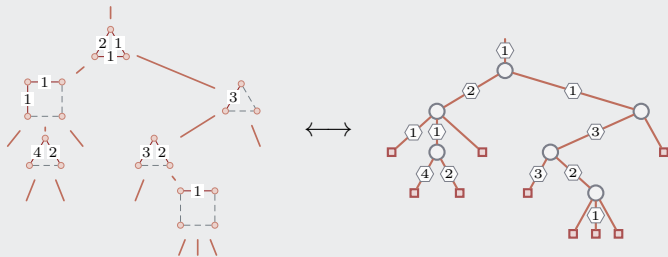
\mathcal{M} -arbres de Schröder

Ces arbres duaux peuvent se représenter par des arbres de Schröder dont les arêtes internes sont étiquetées sur $\mathcal{M} \setminus \{1_{\mathcal{M}}\}$ et les arêtes externes sur \mathcal{M} .

\mathcal{M} -arbres de Schröder

Ces arbres duaux peuvent se représenter par des arbres de Schröder dont les arêtes internes sont étiquetées sur $\mathcal{M} \setminus \{1_{\mathcal{M}}\}$ et les arêtes externes sur \mathcal{M} .

Exemple



Composition de \mathcal{M} -arbres de Schröder

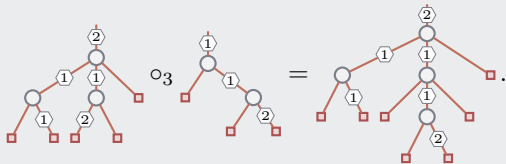
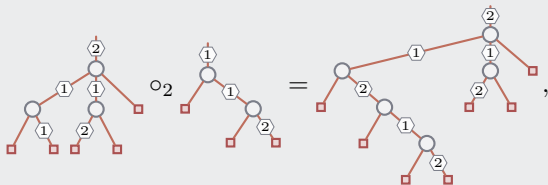
La composition de $\text{NC}\mathcal{M}$ se traduit sur les \mathcal{M} -arbres de Schröder en termes de greffes d'arbres et de contractions d'arêtes.

Composition de \mathcal{M} -arbres de Schröder

La composition de $\text{NC}\mathcal{M}$ se traduit sur les \mathcal{M} -arbres de Schröder en termes de greffes d'arbres et de contractions d'arêtes.

Exemple

Dans $\text{NC}\mathbb{Z}/3\mathbb{Z}$,



Famille génératrice

Proposition

L'ensemble

$$\mathcal{G}_{\text{NCM}} := \left\{ \begin{array}{c} \circ \\ \text{p}_1 \text{ p}_2 \\ \circ \text{---} \text{p}_0 \circ \end{array} : \text{p}_0, \text{p}_1, \text{p}_2 \in \mathcal{M} \right\}$$

des \mathcal{M} -triangles est un ensemble générateur minimal de NCM .

Famille génératrice

Proposition

L'ensemble

$$\mathcal{G}_{\text{NCM}} := \left\{ \begin{array}{c} \circ \\ \swarrow \quad \searrow \\ \mathbf{p}_1 \quad \mathbf{p}_2 \\ \swarrow \quad \searrow \\ \circ \quad \mathbf{p}_0 \quad \circ \end{array} : \mathbf{p}_0, \mathbf{p}_1, \mathbf{p}_2 \in \mathcal{M} \right\}$$

des \mathcal{M} -triangles est un ensemble générateur minimal de NCM .

Ainsi, NCM est une opérade binaire.

Famille génératrice

Proposition

L'ensemble

$$\mathcal{G}_{\text{NCM}} := \left\{ \begin{array}{c} \circ \\ \swarrow \quad \searrow \\ \boxed{p_1 \quad p_2} \\ \swarrow \quad \searrow \\ \circ \quad \circ \\ \uparrow \quad \downarrow \\ \circ \quad \circ \\ \swarrow \quad \searrow \\ \circ \end{array} : p_0, p_1, p_2 \in \mathcal{M} \right\}$$

des \mathcal{M} -triangles est un ensemble générateur minimal de NCM .

Ainsi, NCM est une opérade binaire.

De plus, NCM est aussi

1. la plus petite sous-opérade de CM qui contient tous les \mathcal{M} -triangles;
2. la plus grosse sous-opérade binaire de CM .

Dimensions

Proposition

Lorsque \mathcal{M} est fini, la série de Hilbert de $\text{NC}\mathcal{M}$ vérifie

$$t + (m^3 - 2m^2 + 2m - 1) t^2 \\ + (2m^2 t - 3m t + 2t - 1) \mathcal{H}_{\text{NC}\mathcal{M}}(t) + (m - 1) \mathcal{H}_{\text{NC}\mathcal{M}}(t)^2 = 0,$$

où $m := \#\mathcal{M}$.

Dimensions

Proposition

Lorsque \mathcal{M} est fini, la série de Hilbert de $\text{NC}\mathcal{M}$ vérifie

$$t + (m^3 - 2m^2 + 2m - 1)t^2 + (2m^2t - 3mt + 2t - 1)\mathcal{H}_{\text{NC}\mathcal{M}}(t) + (m - 1)\mathcal{H}_{\text{NC}\mathcal{M}}(t)^2 = 0,$$

où $m := \#\mathcal{M}$.

On a aussi, pour tout $n \geq 2$,

$$\dim \text{NC}\mathcal{M}(n) = \sum_{0 \leq k \leq n-2} m^{n+k+1} (m-1)^{n-k-2} \frac{1}{k+1} \binom{n-2}{k} \binom{n-1}{k}.$$

Dimensions

Proposition

Lorsque \mathcal{M} est fini, la série de Hilbert de $\text{NC}\mathcal{M}$ vérifie

$$t + (m^3 - 2m^2 + 2m - 1)t^2 + (2m^2t - 3mt + 2t - 1)\mathcal{H}_{\text{NC}\mathcal{M}}(t) + (m - 1)\mathcal{H}_{\text{NC}\mathcal{M}}(t)^2 = 0,$$

où $m := \#\mathcal{M}$.

On a aussi, pour tout $n \geq 2$,

$$\dim \text{NC}\mathcal{M}(n) = \sum_{0 \leq k \leq n-2} m^{n+k+1} (m-1)^{n-k-2} \frac{1}{k+1} \binom{n-2}{k} \binom{n-1}{k}.$$

P.ex.,

$$1, 1, 1, 1, 1, 1, \quad m = 1,$$

$$1, 8, 48, 352, 2880, 25216, \quad m = 2,$$

$$1, 27, 405, 7533, 156735, 349263, \quad m = 3,$$

$$1, 64, 1792, 62464, 2437120, 101859328, \quad m = 4.$$

Présentation

Théorème

Lorsque \mathcal{M} est fini, NCM admet la présentation $(\mathfrak{G}_{\text{NCM}}, \mathfrak{R}_{\text{NCM}})$ où $\mathfrak{R}_{\text{NCM}}$ est engendré par

$$\begin{array}{c} \text{p}_1 \text{ p}_2 \\ \diagup \quad \diagdown \\ \text{p}_0 \end{array} \circ_1 \begin{array}{c} \text{q}_1 \text{ q}_2 \\ \diagup \quad \diagdown \\ \text{q}_0 \end{array} - \begin{array}{c} \text{r}_1 \text{ p}_2 \\ \diagup \quad \diagdown \\ \text{p}_0 \end{array} \circ_1 \begin{array}{c} \text{q}_1 \text{ q}_2 \\ \diagup \quad \diagdown \\ \text{r}_0 \end{array}, \quad \text{si } \text{p}_1 \star \text{q}_0 = \text{r}_1 \star \text{r}_0 \neq \mathbb{1}_{\mathcal{M}},$$

$$\begin{array}{c} \text{p}_1 \text{ p}_2 \\ \diagup \quad \diagdown \\ \text{p}_0 \end{array} \circ_1 \begin{array}{c} \text{q}_1 \text{ q}_2 \\ \diagup \quad \diagdown \\ \text{q}_0 \end{array} - \begin{array}{c} \text{q}_1 \text{ r}_2 \\ \diagup \quad \diagdown \\ \text{p}_0 \end{array} \circ_2 \begin{array}{c} \text{q}_2 \text{ p}_2 \\ \diagup \quad \diagdown \\ \text{r}_0 \end{array}, \quad \text{si } \text{p}_1 \star \text{q}_0 = \text{r}_2 \star \text{r}_0 = \mathbb{1}_{\mathcal{M}},$$

$$\begin{array}{c} \text{p}_1 \text{ p}_2 \\ \diagup \quad \diagdown \\ \text{p}_0 \end{array} \circ_2 \begin{array}{c} \text{q}_1 \text{ q}_2 \\ \diagup \quad \diagdown \\ \text{q}_0 \end{array} - \begin{array}{c} \text{p}_1 \text{ r}_2 \\ \diagup \quad \diagdown \\ \text{p}_0 \end{array} \circ_2 \begin{array}{c} \text{q}_1 \text{ q}_2 \\ \diagup \quad \diagdown \\ \text{r}_0 \end{array}, \quad \text{si } \text{p}_2 \star \text{q}_0 = \text{r}_2 \star \text{r}_0 \neq \mathbb{1}_{\mathcal{M}}.$$

Ainsi, NCM est binaire et quadratique.

Dual de Koszul

Par conséquent, \mathcal{NCM} admet un dual de Koszul $\mathcal{NCM}!$.

Proposition

Lorsque \mathcal{M} est fini, $\mathcal{NCM}!$ admet la présentation $(\mathcal{G}_{\mathcal{NCM}}, \mathcal{R}_{\mathcal{NCM}}^!)$ où $\mathcal{R}_{\mathcal{NCM}}^!$ est engendré par

$$\sum_{\substack{p_1, q_0 \in \mathcal{M} \\ p_1 * q_0 = \delta}} \begin{array}{c} \textcircled{p_1} \textcircled{p_2} \\ \diagdown \quad \diagup \\ \textcircled{p_0} \end{array} \circ_1 \begin{array}{c} \textcircled{q_1} \textcircled{q_2} \\ \diagdown \quad \diagup \\ \textcircled{q_0} \end{array}, \quad p_0, p_2, q_1, q_2 \in \mathcal{M}, \delta \in \mathcal{M} \setminus \{\mathbf{1}_{\mathcal{M}}\},$$

$$\sum_{\substack{p_1, q_0 \in \mathcal{M} \\ p_1 * q_0 = \mathbf{1}_{\mathcal{M}}}} \begin{array}{c} \textcircled{p_1} \textcircled{p_2} \\ \diagdown \quad \diagup \\ \textcircled{p_0} \end{array} \circ_1 \begin{array}{c} \textcircled{q_1} \textcircled{q_2} \\ \diagdown \quad \diagup \\ \textcircled{q_0} \end{array} - \begin{array}{c} \textcircled{q_1} \textcircled{p_1} \\ \diagdown \quad \diagup \\ \textcircled{p_0} \end{array} \circ_2 \begin{array}{c} \textcircled{q_2} \textcircled{p_2} \\ \diagdown \quad \diagup \\ \textcircled{q_0} \end{array}, \quad p_0, p_2, q_1, q_2 \in \mathcal{M},$$

$$\sum_{\substack{p_2, q_0 \in \mathcal{M} \\ p_2 * q_0 = \delta}} \begin{array}{c} \textcircled{p_1} \textcircled{p_2} \\ \diagdown \quad \diagup \\ \textcircled{p_0} \end{array} \circ_2 \begin{array}{c} \textcircled{q_1} \textcircled{q_2} \\ \diagdown \quad \diagup \\ \textcircled{q_0} \end{array}, \quad p_0, p_1, q_1, q_2 \in \mathcal{M}, \delta \in \mathcal{M} \setminus \{\mathbf{1}_{\mathcal{M}}\}.$$

Dimensions

Proposition

Lorsque \mathcal{M} est fini, la série de Hilbert de $\text{NC}\mathcal{M}^!$ vérifie

$$t + (m - 1)t^2 + (2m^2t - 3mt + 2t - 1) \mathcal{H}_{\text{NC}\mathcal{M}^!}(t) \\ + (m^3 - 2m^2 + 2m - 1) \mathcal{H}_{\text{NC}\mathcal{M}^!}(t)^2 = 0,$$

où $m := \#\mathcal{M}$.

Dimensions

Proposition

Lorsque \mathcal{M} est fini, la série de Hilbert de $\text{NC}\mathcal{M}^!$ vérifie

$$t + (m - 1)t^2 + (2m^2t - 3mt + 2t - 1) \mathcal{H}_{\text{NC}\mathcal{M}^!}(t) + (m^3 - 2m^2 + 2m - 1) \mathcal{H}_{\text{NC}\mathcal{M}^!}(t)^2 = 0,$$

où $m := \#\mathcal{M}$.

On a aussi, pour tout $n \geq 2$,

$$\dim \text{NC}\mathcal{M}^!(n) = \sum_{0 \leq k \leq n-2} m^{n+1} (m(m-1)+1)^k (m(m-1))^{n-k-2} \frac{1}{k+1} \binom{n-2}{k} \binom{n-1}{k}.$$

Dimensions

Proposition

Lorsque \mathcal{M} est fini, la série de Hilbert de $\text{NC}\mathcal{M}^!$ vérifie

$$t + (m - 1)t^2 + (2m^2t - 3mt + 2t - 1) \mathcal{H}_{\text{NC}\mathcal{M}^!}(t) + (m^3 - 2m^2 + 2m - 1) \mathcal{H}_{\text{NC}\mathcal{M}^!}(t)^2 = 0,$$

où $m := \#\mathcal{M}$.

On a aussi, pour tout $n \geq 2$,

$$\dim \text{NC}\mathcal{M}^!(n) = \sum_{0 \leq k \leq n-2} m^{n+1} (m(m-1)+1)^k (m(m-1))^{n-k-2} \frac{1}{k+1} \binom{n-2}{k} \binom{n-1}{k}.$$

P.ex.,

$$1, 1, 1, 1, 1, 1, \quad m = 1,$$

$$1, 8, 80, 992, 13760, 204416, \quad m = 2,$$

$$1, 27, 1053, 51273, 2795715, 163318599, \quad m = 3,$$

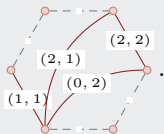
$$1, 64, 6400, 799744, 111923200, 16782082048, \quad m = 4.$$

Réalisation partielle

Une \mathcal{M} -clique **duale** est une \mathcal{M}^2 -clique telle que sa base et ses côtés sont décorés par des $(a, a) \in \mathcal{M}^2$ et ses diagonales pleines par des $(a, b) \in \mathcal{M}^2$ tels que $a \neq b$.

Exemple

Voici une \mathbb{Z} -clique duale :

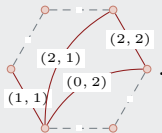


Réalisation partielle

Une \mathcal{M} -clique **duale** est une \mathcal{M}^2 -clique telle que sa base et ses côtés sont décorés par des $(a, a) \in \mathcal{M}^2$ et ses diagonales pleines par des $(a, b) \in \mathcal{M}^2$ tels que $a \neq b$.

Exemple

Voici une \mathbb{Z} -clique duale :



Proposition

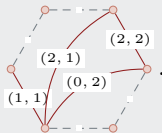
Lorsque \mathcal{M} est fini, $\text{NC}\mathcal{M}^1$ possède comme base l'ensemble des \mathcal{M} -cliques duales non croisées.

Réalisation partielle

Une \mathcal{M} -clique **duale** est une \mathcal{M}^2 -clique telle que sa base et ses côtés sont décorés par des $(a, a) \in \mathcal{M}^2$ et ses diagonales pleines par des $(a, b) \in \mathcal{M}^2$ tels que $a \neq b$.

Exemple

Voici une \mathbb{Z} -clique duale :



Proposition

Lorsque \mathcal{M} est fini, $\text{NCM}^!$ possède comme base l'ensemble des \mathcal{M} -cliques duales non croisées.

Question

Définir une composition partielle sur les \mathcal{M} -cliques duales pour obtenir une réalisation de $\text{NCM}^!$.